

**Comune di Mazzarino  
Provincia di Caltanissetta**

**RELAZIONE TECNICA GENERALE  
RELAZIONE DI CALCOLO**

**OGGETTO:** Lavori di restauro palazzo Bartoli

**COMMITTENTE:** Comune di Mazzarino

\_\_/\_\_/\_\_\_\_

Il Progettista

\_\_\_\_\_  
(Arch. A.S. Alessi)

Il Direttore dei Lavori

\_\_\_\_\_  
(...)

## 1 - DESCRIZIONE GENERALE DELL'OPERA

I lavori da eseguire nell'immobile denominato "Palazzo Bartoli", sito in Mazzarino con ingresso dal corso Vittorio Emanuele, catastalmente individuato al foglio di mappa n.75/ b particelle 499 e 535, consistono primariamente nel recupero, consolidamento e messa in sicurezza del complesso architettonico, attualmente inagibili.

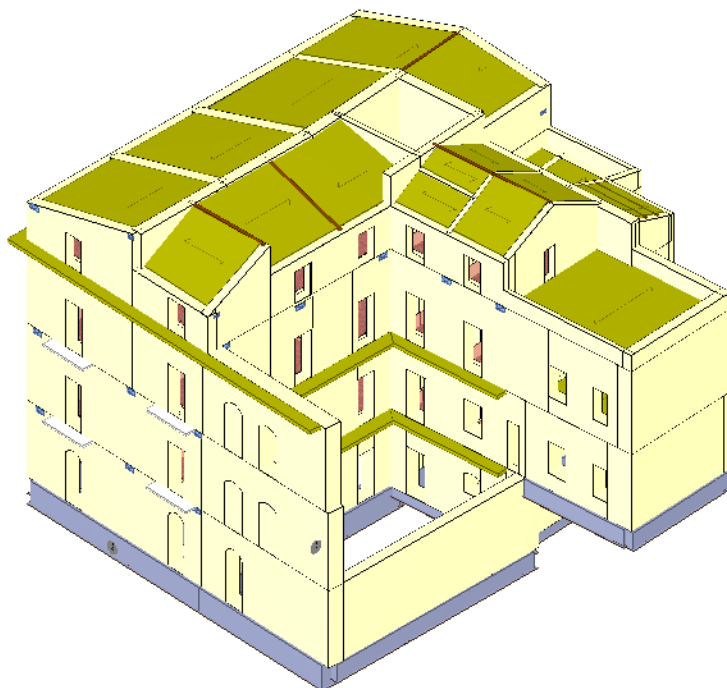
Il progetto è chiamato quindi da un lato a pensare a nuove funzioni, (pubbliche) alla individuazione ed esplicitazione di un programma funzionale, che metta assieme i vincoli della struttura esistente con la necessita di creare nuovi servizi per la cultura e l'aggregazione , dall'altro a dare chiara identità allo spazio della corte interna contiguo alla piazza Monterosso ove si affaccia la chiesa Madre dedicata a Santa Maria della Neve.

Il progetto prevede un insieme integrato di operazioni volte al recupero e rifunzionalizzazione dell'immobile

Vengono riportate di seguito due viste assonometriche contrapposte, allo scopo di consentire una migliore comprensione della struttura oggetto della presente relazione:

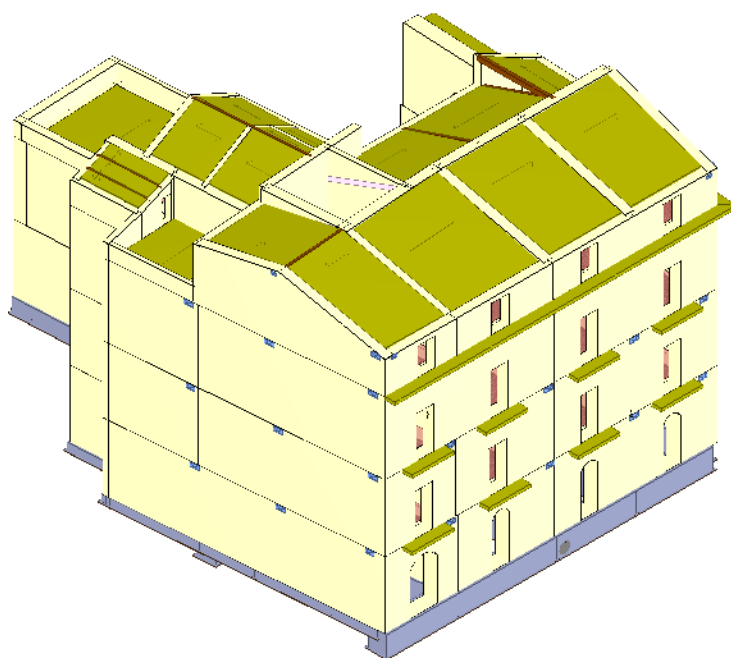
### Vista Anteriore

*La direzione di visualizzazione (bisettrice del cono ottico), relativamente al sistema di riferimento globale  $O, X, Y, Z$ , ha versore  $(1; 1; -1)$*



### Vista Posteriore

*La direzione di visualizzazione (bisettrice del cono ottico), relativamente al sistema di riferimento globale  $O, X, Y, Z$ , ha versore  $(-1; -1; -1)$*



## 2 - NORMATIVA DI RIFERIMENTO

Le fasi di analisi e verifica della struttura sono state condotte in accordo alle seguenti disposizioni normative, per quanto applicabili in relazione al criterio di calcolo adottato dal progettista, evidenziato nel prosieguo della presente relazione:

**Legge 5 novembre 1971 n. 1086** (G. U. 21 dicembre 1971 n. 321)

"Norme per la disciplina delle opere di conglomerato cementizio armato, normale e precompresso ed a struttura metallica"

**Legge 2 febbraio 1974 n. 64** (G. U. 21 marzo 1974 n. 76)

"Provvedimenti per le costruzioni con particolari prescrizioni per le zone sismiche"

Indicazioni progettive per le nuove costruzioni in zone sismiche a cura del Ministero per la Ricerca scientifica - Roma 1981.

**D. M. Infrastrutture Trasporti 14 gennaio 2008** (G.U. 4 febbraio 2008 n. 29 - Suppl. Ord.)

"Norme tecniche per le Costruzioni"

Inoltre, in mancanza di specifiche indicazioni, ad integrazione della norma precedente e per quanto con esse non in contrasto, sono state utilizzate le indicazioni contenute nella:

**Circolare 2 febbraio 2009 n. 617 del Ministero delle Infrastrutture e dei Trasporti** (G.U. 26 febbraio 2009 n. 27 – Suppl. Ord.)

"Istruzioni per l'applicazione delle 'Norme Tecniche delle Costruzioni' di cui al D.M. 14 gennaio 2008".

**Eurocodice 6** – "Progettazione delle strutture di muratura" - ENV 1996-1-1.

**CNR-DT 206/2007** – "Istruzioni per la Progettazione, l'Esecuzione ed il Controllo delle Strutture in Legno".

### 3 - MATERIALI IMPIEGATI E RESISTENZE DI CALCOLO

Per la realizzazione dell'opera in oggetto saranno impiegati i seguenti materiali:

#### LIVELLO DI CONOSCENZA E FATTORE DI CONFIDENZA

Livello di conoscenza		Livello di conoscenza e fattore di confidenza	
Livello di conoscenza		Fattore di confidenza	
LC2		1,2	

LEGENDA: Livello di conoscenza e fattore di confidenza

**Livello di conoscenza** [LC1] = Conoscenza Limitata - [LC2] = Conoscenza Adeguata - [LC3] = Conoscenza Accurata.

**Fattore di confidenza** Fattore di confidenza applicato alle proprietà dei materiali.

#### MATERIALI CALCESTRUZZO ARMATO

Caratteristiche Calcestruzzo Armato														
N	$\gamma_k$	CdT	E	G	Stz	R <sub>ck</sub>	R <sub>cm</sub>	%R <sub>ck</sub>	$\gamma_c$	f <sub>cd</sub>	f <sub>ctd</sub>	f <sub>cfm</sub>	n	n Ac
	[N/m <sup>3</sup> ]	[1/°C]	[N/mm <sup>2</sup> ]	[N/mm <sup>2</sup> ]		[N/mm <sup>2</sup> ]	[N/mm <sup>2</sup> ]							
<b>ClS C25/30_B450C - (C25/30)</b>														
004	25.000	0,000010	31.447	13.103	F/P	30,00	-	0,85	1,50	11,76	0,99	2,56	15	005

#### MATERIALE INTONACO ARMATO CON FIBRE FRP

Caratteristiche Intonaco Armato														
<b>Rete preformata in materiale composito fibrorinforzato G.F.R.P. - (Rete G.F.R.P.)</b>														
N	$\gamma_k$	CdT	E	G	Stz	R <sub>ck</sub>	R <sub>cm</sub>	%R <sub>ck</sub>	$\gamma_c$	f <sub>cd</sub>	f <sub>ctd</sub>	f <sub>cfm</sub>	n	n Ac
	[N/m <sup>3</sup> ]	[1/°C]	[N/mm <sup>2</sup> ]	[N/mm <sup>2</sup> ]		[N/mm <sup>2</sup> ]	[N/mm <sup>2</sup> ]							
010	1.170	0,000007	23.000	9.200	P	8,00	-	0,85	1,50	3,76	0,49	1,27	3	011

LEGENDA Caratteristiche Calcestruzzo Armato/Intonaco Armato

- N** Numero identificativo del materiale.  
 **$\gamma_k$**  Peso specifico.  
**CdT** Coefficiente di Dilatazione Termica.  
**E** Modulo elastico normale.  
**G** Modulo elastico tangenziale.  
**Stz** Indica il 'Tipo Situazione': [F] = materiale 'di Fatto' (Esistente)(tiene conto del LC/FC); [P] = materiale 'di Progetto' (Nuovo);  
**R<sub>ck</sub>** Resistenza caratteristica cubica.  
**R<sub>cm</sub>** Resistenza media cubica.  
**%R<sub>ck</sub>** Percentuale di riduzione della R<sub>ck</sub>  
 **$\gamma_c$**  Coefficiente di sicurezza allo SLV del materiale.  
**f<sub>cd</sub>** Resistenza di calcolo a compressione.  
**f<sub>ctd</sub>** Resistenza di calcolo a trazione.  
**f<sub>cfm</sub>** Resistenza media a trazione per flessione.  
**n** Coefficiente di omogeneizzazione.  
**n Ac** Identificativo, nella relativa tabella materiali, dell'acciaio utilizzato: [-] = parametro NON significativo per il materiale.

#### MATERIALI MURATURA

Caratteristiche Muratura															
N	$\gamma_k$	CdT	E	G	Stz	$\gamma_{m,v}$	$\gamma_{m,s}$	f <sub>cm(k)/</sub>	f <sub>tk/</sub>	f <sub>ck,o/</sub>	f <sub>vk,o/</sub>	$\mu$	$\lambda$	TRT	
								f <sub>cd,v/</sub>	f <sub>td,v/</sub>	f <sub>cd,o,v/</sub>	f <sub>vd,o,v/</sub>			M	F
	[N/m <sup>3</sup> ]	[1/°C]	[N/mm <sup>2</sup> ]	[N/mm <sup>2</sup> ]											
<b>Muratura in pietra a spacco con buona tessitura - (M.P.S.)</b>															
002	21.000	0,000010	2.610	1.004	F/P	2,50	2,00	5,70	0,120	5,70	0,120	0,40	20	2	2
								1,90	0,040	1,90	0,040				
								2,38	0,050	2,38	0,050				
<b>blocchi di roccia informe - (Mur_inf)</b>															
006	19.000	0,000010	1.000	400	F/P	2,00	2,00	1,80	0,100	1,80	0,100	0,40	20	1	2
								0,75	0,042	0,75	0,042				
								0,75	0,042	0,75	0,042				
<b>Muratura in mattoni pieni - (M.M.P.)</b>															
007	18.000	0,000010	2.100	808	F/P	2,50	2,00	2,30	0,080	2,30	0,080	0,40	20	1	2
								0,77	0,027	0,77	0,027				
								0,96	0,033	0,96	0,033				
<b>Muratura in blocchi di laterizi semipieni (perc. foratura &lt; 45%) - (M.B.L.S.)</b>															
008	12.000	0,000010	4.500	1.731	P	2,50	2,00	5,00	0,350	5,00	0,350	0,40	20	1	2
								2,00	0,140	2,00	0,140				
								2,50	0,175	2,50	0,175				
<b>Muratura in mattoni - (M.M.)</b>															
013	15.000	0,000010	1.600	615	-	2,50	2,00	2,30	0,090	2,30	0,090	0,40	20	1	2
								0,92	0,036	0,92	0,036				
								1,15	0,045	1,15	0,045				

LEGENDA Caratteristiche Muratura

- N** Numero identificativo del materiale.  
 **$\gamma_k$**  Peso specifico.  
**CdT** Coefficiente di Dilatazione Termica.

Restauro del palazzo Bartoli a Mazzarino e adeguamento alle norme di sicurezza e agibilità

**Caratteristiche Muratura**

N	$\gamma_k$	CdT	E	G	Stz	$\gamma_{m,v}$	$\gamma_{m,s}$	$f_{cm(k)}/$	$f_{tk}/$	$f_{ck,0}/$	$f_{vko}/$	$\mu$	$\lambda$	TRT	
								$f_{cd,v}/$ $f_{cd,s}$	$f_{td,v}/$ $f_{td,s}$	$f_{cd,0,v}/$ $f_{cd,0,s}$	$f_{vd,0,v}/$ $f_{vd,0,s}$			M	F
	[N/m <sup>3</sup> ]	[1/°C]	[N/mm <sup>2</sup> ]	[N/mm <sup>2</sup> ]				[N/mm <sup>2</sup> ]	[N/mm <sup>2</sup> ]	[N/mm <sup>2</sup> ]	[N/mm <sup>2</sup> ]				
<b>E</b>		Modulo elastico normale.													
<b>G</b>		Modulo elastico tangenziale.													
<b>Stz</b>		Indica il 'Tipo Situazione': [F] = materiale 'di Fatto' (Esistente)(tiene conto del LC/FC); [P] = materiale 'di Progetto' (Nuovo);													
$f_{cm(k)}/f_{cd,v}/f_{cd,s}$		$f_{cm(k)}$ = Resistenza a compressione: media nel caso di muri "di Fatto" (Esistenti); caratteristica nel caso di muri "di Progetto" (Nuovi). $f_{cd,v}$ = Resistenza di calcolo a compressione per combinazioni a carichi VERTICALI (funzione di $\gamma_{m,v}$ e LC/FC). $f_{cd,s}$ = Resistenza di calcolo a compressione per combinazioni SISMICHE (funzione di $\gamma_{m,s}$ e LC/FC).													
$\gamma_{m,v}$		Coefficiente di sicurezza allo SLV della muratura nel caso di combinazioni a carichi VERTICALI (NON sismiche).													
$\gamma_{m,s}$		Coefficiente di sicurezza allo SLV della muratura nel caso di combinazioni SISMICHE.													
$f_{tk}/f_{td,v}/f_{td,s}$		$f_{tk}$ = Resistenza caratteristica a trazione. $f_{td,v}$ = Resistenza di calcolo a trazione per combinazioni a carichi VERTICALI (funzione di $\gamma_{m,v}$ e LC/FC). $f_{td,s}$ = Resistenza di calcolo a trazione per combinazioni SISMICHE (funzione di $\gamma_{m,s}$ e LC/FC).													
$f_{ck,0}/f_{cd,0,v}/f_{cd,0,s}$		$f_{ck,0}$ = Resistenza caratteristica a compressione orizzontale. $f_{cd,0,v}$ = Resistenza a compressione orizzontale di calcolo per combinazioni a carichi VERTICALI (funzione di $\gamma_{m,v}$ e LC/FC). $f_{cd,0,s}$ = Resistenza a compressione orizzontale di calcolo per combinazioni SISMICHE (funzione di $\gamma_{m,s}$ e LC/FC).													
$f_{vko}/f_{vd,0,v}/f_{vd,0,s}$		$f_{vko}$ = Resistenza caratteristica a taglio senza compressione. $f_{vd,0,v}$ = Resistenza di calcolo a taglio senza compressione per combinazioni a carichi VERTICALI (funzione di $\gamma_{m,v}$ e LC/FC). $f_{vd,0,s}$ = Resistenza di calcolo a taglio senza compressione per combinazioni SISMICHE (funzione di $\gamma_{m,s}$ e LC/FC).													
$\mu$		Coefficiente di attrito.													
$\lambda$		Snellezza.													
<b>TRT M</b>		Tipo rottura a taglio dei MASCHI: [1] = per scorrimento; [2] = per fessurazione diagonale; [3] = per scorrimento e fessurazione.													
<b>TRT F</b>		Tipo rottura a taglio delle FASCE: [1] = per scorrimento; [2] = per fessurazione diagonale; [3] = per scorrimento e fessurazione; [-] = parametro NON significativo per il materiale.													

**MATERIALI ACCIAIO**

**Caratteristiche Acciaio**

N	$\gamma_k$	CdT	E	G	Stz	$f_{yk,1}/$ $f_{yk,2}$	$f_{tk}$	$f_{vd,1}/$ $f_{vd,2}$	$f_{td}$	$\gamma_s$	$\gamma_{M1}$	$\gamma_{M2}$	$\gamma_{M3,SLV}$	$\gamma_{M3,SLE}$	$\gamma_{M7}$
	[N/m <sup>3</sup> ]	[1/°C]	[N/mm <sup>2</sup> ]	[N/mm <sup>2</sup> ]	[N/m <sup>2</sup> ]	[N/mm <sup>2</sup> ]	[N/mm <sup>2</sup> ]	[N/mm <sup>2</sup> ]	[N/mm <sup>2</sup> ]						
<b>Acciaio B450C - (B450C)</b>															
005	78.500	0,000010	210.000	80.769	-	450,00 -	-	326,09 -	-	1,15	-	-	-	-	-
<b>rete fibrorinforzata - (G.F.R.P.)</b>															
011	1.170	0,000007	23.000	9.200	-	350,00 -	-	253,62 -	-	1,15	-	-	-	-	-
<b>Acciaio B450C - (B450C)</b>															
012	78.500	0,000010	210.000	84.000	P	450,00 -	-	391,30 -	-	1,15	-	-	-	-	-

**LEGENDA Caratteristiche Acciaio**

- N** Numero identificativo del materiale.
- $\gamma_k$**  Peso specifico.
- CdT** Coefficiente di Dilatazione Termica.
- E** Modulo elastico normale.
- G** Modulo elastico tangenziale.
- Stz** Indica il 'Tipo Situazione' : [F] = materiale 'di Fatto' (Esistente) (tiene conto del FC); [-/P] = materiale 'di Progetto' (Nuovo); [-] = resistenze medie /caratteristiche del materiale.
- $f_{yk,1}$**  Resistenza caratteristica allo snervamento (per profili con  $t \leq 40$  mm).
- $f_{yk,2}$**  Resistenza caratteristica allo snervamento (per profili con  $40 \text{ mm} < t \leq 80$  mm).
- $f_{tk}$**  Resistenza a Rottura (Bulloni).
- $f_{vd,1}$**  Resistenza di calcolo (per profili con  $t \leq 40$  mm).
- $f_{vd,2}$**  Resistenza di calcolo (per profili con  $40 \text{ mm} < t \leq 80$  mm).
- $f_{td}$**  Resistenza di calcolo a Rottura (Bulloni).
- $\gamma_s$**  Coefficiente di sicurezza allo SLV del materiale.
- $\gamma_{M1}$**  Coefficiente di sicurezza per instabilità.
- $\gamma_{M2}$**  Coefficiente di sicurezza per sezioni tese indebolite.
- $\gamma_{M3,SLV}$**  Coefficiente di sicurezza a scorrimento alla SLV (Bulloni).
- $\gamma_{M3,SLE}$**  Coefficiente di sicurezza a scorrimento alla SLE (Bulloni).
- $\gamma_{M7}$**  Coefficiente di sicurezza precarico bulloni ad alta resistenza (Bulloni): [-] = parametro NON significativo per il materiale.

**MATERIALI LEGNO**

**Caratteristiche Legno**

N	Tipo	$\gamma_k$	$\gamma_{mean}$	$G_{Mean}$	Stz	$f_{m,k}$	$f_{v,k}$	$\gamma_M$	$\gamma_{M,e}$	$\beta_c$	Dir	$\alpha_{r,i}$	$E_{i,05}$	$G_{i,05}$	$E_{i,mean}$	$f_{c,i,k}$	$f_{t,i,k}$
		[N/m <sup>3</sup> ]	[N/m <sup>3</sup> ]	[N/mm <sup>2</sup> ]	[N/m <sup>2</sup> ]	[N/mm <sup>2</sup> ]	[N/mm <sup>2</sup> ]	[-]	[-]	[-]		[1/°C]	[N/mm <sup>2</sup> ]				
<b>LL GL24h - (GL24h)</b>																	
001	L	3.80 0	3.800	720	P	24,00	2,700	1,45	1,00	0,1	0 90	0,000004 0,000058	9.400	583	11.600	24,00 390	16,50 0,40

**LEGENDA Caratteristiche Legno**

- N** Numero identificativo del materiale.

Caratteristiche Legno																	
N	Tipo	$\gamma_k$	$\gamma_{mean}$	$G_{Mean}$	Stz	$f_{m,k}$	$f_{v,k}$	$\gamma_M$	$\gamma_{M,e}$	$\beta_c$	Dir	$\alpha_{T,i}$	$E_{i,05}$	$G_{i,05}$	$E_{i,mean}$	$f_{c,i,k}$	$f_{t,i,k}$
		[N/m <sup>3</sup> ]	[N/m <sup>3</sup> ]	[N/mm <sup>2</sup> ]	[N/m <sup>2</sup> ]	[N/mm <sup>2</sup> ]	[N/mm <sup>2</sup> ]	[-]	[-]	[-]		[1/°C]	[N/mm <sup>2</sup> ]				
<b>Tipo</b>	Tipologia ai fini del calcolo di KMOD (Tab. 4.4.IV DM 14/01/2008): [M/L] = Legno massiccio o lamellare.																
<b><math>\gamma_k</math></b>	Peso specifico caratteristico.																
<b><math>\gamma_{Mean}</math></b>	Peso specifico medio.																
<b><math>G_{mean}</math></b>	Modulo Elastico Tangenziale.																
<b>Stz</b>	Indica il 'Tipo Situazione' : [F] = materiale 'di Fatto' (Esistente) (tiene conto del FC); [-/P] = materiale 'di Progetto' (Nuovo); [-] = resistenze medie /caratteristiche del materiale.																
<b><math>f_{m,k}</math></b>	Resistenza a flessione.																
<b><math>f_{v,k}</math></b>	Resistenza a taglio.																
<b><math>\gamma_M</math></b>	Coefficiente parziale di sicurezza per le combinazioni fondamentali (Tab. 4.4.III DM 14/01/2008).																
<b><math>\gamma_{M,e}</math></b>	Coefficiente parziale di sicurezza per le combinazioni eccezionali (Tab. 4.4.III DM 14/01/2008).																
<b><math>\beta_c</math></b>	Coefficiente di imperfezione per la verifica di instabilità (p.4.4.8.2.2 DM 14/01/2008).																
<b>Dir</b>	Direzione: [0] = parallelo alle fibre, [90] = perpendicolare alle fibre.																
<b><math>\alpha_{T,i}</math></b>	Coefficiente di dilatazione termica [i = (0, 90)]																
<b><math>E_{i,05}</math></b>	Modulo elastico normale caratteristico [i = (0, 90)]																
<b><math>G_{i,05}</math></b>	Modulo elastico tangenziale caratteristico [i = (0, 90)].																
<b><math>E_{i,mean}</math></b>	Modulo elastico normale medio [i = (0, 90)].																
<b><math>f_{c,i,k}</math></b>	Resistenza caratteristica a compressione [i = (0, 90)]																
<b><math>f_{t,i,k}</math></b>	Resistenza caratteristica a trazione [i = (0, 90)].																

## ALTRI MATERIALI

Caratteristiche Altri Materiali												
N	$\gamma_k$	CdT	E	G	$f_{fk}$	$\gamma_e$	$\eta_I$	$\eta_{a,1}$	$\eta_{a,2}$	$\eta_{a,3}$	TAC	
	[N/m <sup>3</sup> ]	[1/°C]	[N/mm <sup>2</sup> ]	[N/mm <sup>2</sup> ]	[N/mm <sup>2</sup> ]							
<b>Acciaio - (Fe)</b>												
003	78.500	0,000012	210.000	80.769	-	-	-	-	-	-	-	
<b>Pietra squadrata - (Pisq)</b>												
009	20.000	0,000010	6.960	2.784	-	-	-	-	-	-	-	
<b>Pozzolana compattata - (PzC)</b>												
014	16.000	0,000010	2.000	800	-	-	-	-	-	-	-	

### LEGENDA Caratteristiche Altri Materiali

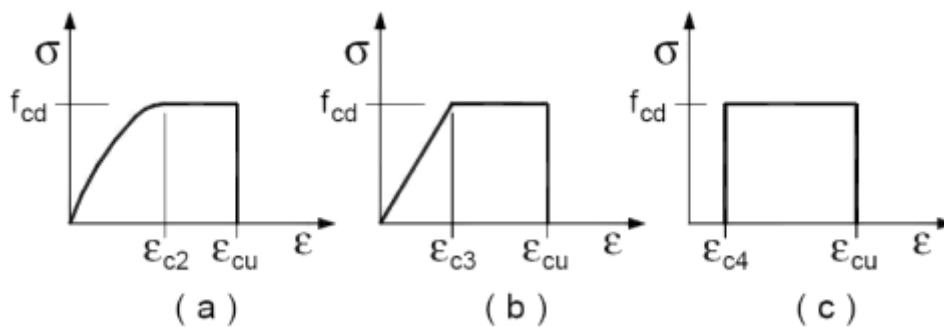
<b>N</b>	Numero identificativo del materiale.
<b><math>\gamma_k</math></b>	Peso specifico.
<b>CdT</b>	Coefficiente di Dilatazione Termica.
<b>E</b>	Modulo elastico normale.
<b>G</b>	Modulo elastico tangenziale.
<b><math>f_{fk}</math></b>	Resistenza caratteristica a rottura.
<b><math>\gamma_e</math></b>	Coefficiente di sicurezza di modello.
<b><math>\eta_I</math></b>	Fattore di conversione per effetti di lunga durata.
<b><math>\eta_{a,1}</math></b>	Fattore di conversione ambientale per esposizione "Interno".
<b><math>\eta_{a,2}</math></b>	Fattore di conversione ambientale per esposizione "Esterno".
<b><math>\eta_{a,3}</math></b>	Fattore di conversione ambientale per esposizione "Ambiente Aggressivo".
<b>TAC</b>	Tipologia di Applicazione del Composito: [A] = Tipo A; [B] = Tipo B; [-] = materiale generico.

I valori dei parametri caratteristici dei suddetti materiali sono riportati anche nei **tabulati di calcolo**, nella relativa sezione.

Tutti i materiali impiegati dovranno essere comunque verificati con opportune prove di laboratorio secondo le prescrizioni della vigente Normativa.

Con esplicito riferimento alla muratura, per le **Combinazioni di Carico Non Sismiche**, il coefficiente di sicurezza del materiale  $\gamma_m$  è funzione della Classe di esecuzione, della categoria degli elementi resistenti, nonché dal tipo di malta, secondo quanto previsto nella Tab. 4.5.II di cui al § 4.5.6.1. Per le **Combinazioni di Carico Sismiche**, il coefficiente di sicurezza del materiale  $\gamma_m$  è assunto sempre pari a **2**, come indicato all'ultimo comma del § 7.8.1.1.

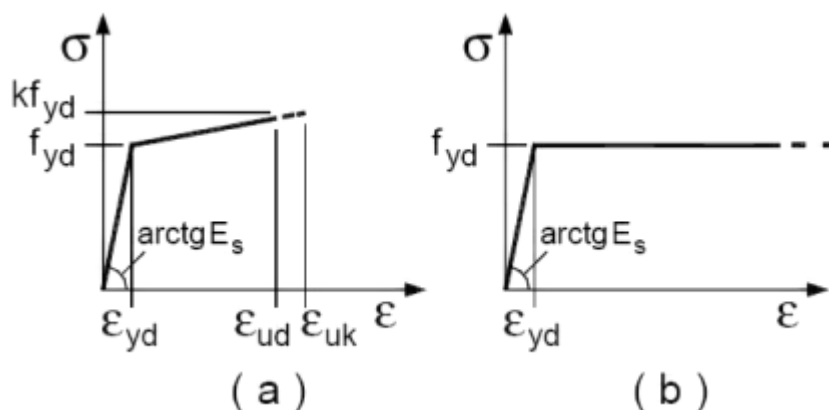
I diagrammi costitutivi degli eventuali elementi in calcestruzzo sono stati adottati in conformità alle indicazioni riportate al punto 4.1.2.1.2.2 del D.M. 14 gennaio 2008; in particolare per le verifiche effettuate a pressoflessione retta e pressoflessione deviata è adottato il modello riportato in fig. (a).



Diagrammi di calcolo tensione/deformazione del calcestruzzo.

La deformazione massima  $\epsilon_{c \max}$  è assunta pari a 0.0035.

I diagrammi costitutivi dell'acciaio sono stati adottati in conformità alle indicazioni riportate al punto 4.1.2.1.2.3 del D.M. 14 gennaio 2008; in particolare è adottato il modello elastico perfettamente plastico rappresentato in fig. (b).



La resistenza di calcolo è data da  $f_{yk}/\gamma_f$ . Il coefficiente di sicurezza  $\gamma_f$  si assume pari a 1.15.

Per il calcolo della capacità di eventuali **elementi/meccanismi duttili** o **fragili** si impiegano le proprietà dei materiali esistenti (resistenze medie ottenute dalle prove in situ e da informazioni aggiuntive) divise per i fattori di confidenza in relazione al livello di conoscenza raggiunto.

Per il calcolo della capacità di resistenza degli **elementi fragili primari**, le resistenze dei materiali (resistenze medie ottenute dalle prove in situ e da informazioni aggiuntive) si dividono per i corrispondenti coefficienti parziali e per i fattori di confidenza in relazione al livello di conoscenza raggiunto.

Per i materiali nuovi o aggiunti si impiegano le proprietà nominali.

#### 4 - LIVELLI DI CONOSCENZA E FATTORI DI CONFIDENZA

Sulla base delle informazioni acquisite:

- sulla GEOMETRIA (§ C8.A.1.A.1 - Circolare 02-02-2009 n. 617);
- sui DETTAGLI COSTRUTTIVI (§ C8.A.1.A.2 - Circolare 02-02-2009 n. 617);
- sulle PROPRIETA' DEI MATERIALI (§ C8.A.1.A.3 - Circolare 02-02-2009 n. 617).

con riferimento alla Tabella C8A.1.1 (Circolare 02-02-2009 n. 617) sono stati acquisiti il **LIVELLO DI**

**CONOSCENZA** (LC - § C8.A.1.A.4 - Circolare 02-02-2009 n. 617) ed il **FATTORE DI CONFIDENZA** (FC - § C8.A.1.A.4 - Circolare 02-02-2009 n. 617) seguenti:

Livello di conoscenza e fattore di confidenza	
Livello di conoscenza	Fattore di confidenza
LC2	1.20

LEGENDA: Livello di conoscenza e fattore di confidenza

**Livello di conoscenza** [LC1] = Conoscenza Limitata - [LC2] = Conoscenza Adeguata - [LC3] = Conoscenza Accurata.  
**Fattore di confidenza** Fattore di confidenza applicato alle proprietà dei materiali.

#### 4.1 Procedure per la valutazione della sicurezza e la redazione dei progetti

Per edifici esistenti, in coerenza con il § 8.2 delle NTC 08, l'analisi storico-critica ed il rilievo geometrico-strutturale devono evidenziare i seguenti aspetti:

- la costruzione riflette lo stato delle conoscenze al tempo della sua realizzazione;
- possono essere insiti e non palesi difetti di impostazione e di realizzazione;
- la costruzione può essere stata soggetta ad azioni, anche eccezionali, i cui effetti non siano completamente manifesti;
- le strutture possono presentare degrado e/o modificazioni significative rispetto alla situazione originaria.

Nella definizione dei modelli strutturali, si dovrà, inoltre, tenere conto che:

- la geometria e i dettagli costruttivi sono definiti e la loro conoscenza dipende solo dalla documentazione disponibile e dal livello di approfondimento delle indagini conoscitive;
- la conoscenza delle proprietà meccaniche dei materiali non risente delle incertezze legate alla produzione e posa in opera ma solo della omogeneità dei materiali stessi all'interno della costruzione, del livello di approfondimento delle indagini conoscitive e dell'affidabilità delle stesse;
- i carichi permanenti sono definiti e la loro conoscenza dipende dal livello di approfondimento delle indagini conoscitive.

- **Analisi storico-critica**

Ai fini di una corretta individuazione del sistema strutturale esistente e del suo stato di sollecitazione è stato importante ricostruire il processo di realizzazione e le successive modificazioni subite nel tempo dal manufatto, nonché gli eventi che lo hanno interessato. Viene di seguito indicata la documentazione reperita e vengono esplicitate le informazioni desunte da ciascuno dei documenti esaminati per le finalità indicate al paragrafo 8.5.1 delle NTC 08.

L'immobile, di proprietà comunale, denominato "Palazzo Bartoli" dal nome degli originari possessori, occupa un isolato posto tra il centralissimo corso Vittorio Emanuele, asse viario principale della città, e la piazza Monterosso ove si affaccia la chiesa Madre dedicata a Santa Maria della Neve.

Il fabbricato, sul fronte verso corso Vittorio Emanuele, confina con il palazzo Branciforti, oggi Bartoli, antica residenza principesca dei feudatari di Mazzarino. Quasi certamente, in origine, la principesca dimora seicentesca occupava un'area più vasta dell'attuale spingendosi fino alla piazza innanzi la chiesa Madre. La famiglia Bartoli, divenuta nel XIX secolo proprietaria della sontuosa residenza nobiliare, probabilmente decise di demolirne la parte terminale, forse in vetuste condizioni strutturali, al fine di realizzare una costruzione consona alle esigenze abitative della famiglia.

La nuova costruzione che potrebbe avere utilizzato strutture appartenenti all'immobile seicentesco, risulta planimetricamente incompleta, sembrerebbe infatti che progettualmente fosse previsto un ulteriore corpo di fabbrica che avrebbe dovuto occupare parzialmente il cortile prospiciente la chiesa Madre.

Per motivi a noi ignoti, legati presumibilmente a problemi di illuminazione ed areazione del piano terra, tale costruzione non fu mai realizzata tranne che per il fronte esterno, costituito essenzialmente da una quinta muraria dove sono visibile bucatore dei balconi.

Architettonicamente si presenta come un blocco chiuso a tre elevazioni con chiara matrice liberty. Il vano scalone è concluso in sommità da un lucernaio in ferro e vetro.

Restauro del palazzo Bartoli a Mazzarino e adeguamento alle norme di sicurezza e agibilità

---

Complessivamente l'immobile presenta un'architettura dalle forme molto semplici, con facciata piana scandita da cornici marcapiano, arricchita da cantonali in pietra d'intaglio e cornice sommitale variamente modanata. I balconi, con semplici ringhiere in ferro, sono sostenuti da mensole in pietra lavorata.

Internamente presentano particolare interesse gli ambienti del primo piano, voltati e arricchiti da gradevoli decorazioni pittoriche sia di gusto floreale che classicheggianti; tali ambienti sono pavimentati con marmette in graniglia di cemento decorata con motivi geometrici.

Le porte e gli infissi esterni, muniti di scuri, richiamano l'epoca di costruzione del palazzo che, complessivamente si presenta piuttosto omogeneo da un punto di vista stilistico.

- **Rilievo geometrico-strutturale**

Il rilievo geometrico-strutturale è stato riferito sia alla geometria complessiva dell'organismo che a quella degli elementi costruttivi, comprendendo i rapporti con le eventuali strutture in aderenza. Nel rilievo sono state rappresentate le modificazioni intervenute nel tempo, come desunte dall'analisi storico-critica.

Il rilievo ha avuto come fine l'individuazione dell'organismo resistente della costruzione, tenendo anche presente la qualità e lo stato di conservazione dei materiali e degli elementi costitutivi.

Sono stati rilevati anche gli eventuali dissesti, in atto o stabilizzati, ponendo particolare attenzione all'individuazione dei quadri fessurativi e dei meccanismi di danno.

Prove e indagini di laboratorio eseguite dalla DISMAT

Tipologia di prove : Carico sui Solai , Carico sulla Scala, Martinetti Piatti, Scoperture Endoscopie - (vedasi rapporto Allegato )

- **Caratterizzazione meccanica dei materiali**

Per conseguire un'adeguata conoscenza delle caratteristiche dei materiali e del loro degrado, ci si è basati sull'eventuale documentazione già disponibile, su verifiche visive in situ e su eventuali indagini sperimentali. I valori delle resistenze meccaniche dei materiali sono state valutate sulla base delle prove effettuate sulla struttura e prescindono dalle classi discretizzate previste nelle norme per le nuove costruzioni.

## 5 - TERRENO DI FONDAZIONE

Le indagini effettuate, mirate alla valutazione della velocità delle onde di taglio ( $V_{s30}$ ) e/o del numero di colpi dello Standard Penetration Test (NSPT), permettono di classificare il profilo stratigrafico, ai fini della determinazione dell'azione sismica, di categoria **B [Rocce tenere e depositi di terreni a grana grossa molto addensati o terreni a grana fina molto consistenti con spessori superiori a 30 m, caratterizzati da un graduale miglioramento delle proprietà meccaniche con la profondità e da valori di  $V_s$ , 30 compresi tra 360 m/s e 800 m/s (ovvero NSPT, 30 > 50 nei terreni a grana grossa e cu, 30 > 250 kPa nei terreni a grana fina).]**

Tutti i parametri che caratterizzano i terreni di fondazione sono riportati nei tabulati di calcolo, nella relativa sezione. Per ulteriori dettagli si rimanda alle relazioni geologica e geotecnica.

## 6 - ANALISI DEI CARICHI

Un'accurata valutazione dei carichi è un requisito imprescindibile di una corretta progettazione, in particolare per le costruzioni realizzate in zona sismica.

Essa, infatti, è fondamentale ai fini della determinazione delle forze sismiche, in quanto incide sulla valutazione delle masse e dei periodi propri della struttura dai quali dipendono i valori delle accelerazioni (ordinate degli spettri di progetto).

La valutazione dei carichi e dei sovraccarichi è stata effettuata in accordo con le disposizioni del **Decreto Ministero Infrastrutture Trasporti 14 gennaio 2008** (G. U. 4 febbraio 2008, n. 29 - Suppl.Ord.) "Norme tecniche per le Costruzioni"

La valutazione dei carichi permanenti è effettuata sulle dimensioni definitive.

Per quanto riguarda le azioni di calcolo delle membrature in legno, queste sono assegnate ad una delle classi di durata del carico elencate nella Tab. 4.4.I, di cui sotto.

Classe di durata del carico	Durata del carico
Permanente	Più di 10 anni
Lunga durata	6 mesi – 10 anni
Media durata	1 settimana – 6 mesi
Breve durata	Meno di 1 settimana
Istantanea	---

Le classi di durata del carico si riferiscono a un carico costante attivo per un certo periodo di tempo nella vita della struttura. Per un'azione variabile la classe appropriata deve essere determinata in funzione dell'interazione fra la variazione temporale tipica del carico nel tempo e le proprietà reologiche dei materiali.

Le analisi effettuate, corredate da dettagliate descrizioni, sono riportate nei tabulati di calcolo nella relativa sezione.

## 7 - CLASSI DI SERVIZIO (Aste in Legno)

Per tener conto della sensibilità del legno alla variazione di umidità e dell'influenza di questa sulle caratteristiche di resistenza e di deformabilità, si definiscono tre classi di servizio elencate nella Tab. 4.4.II, di cui sotto.

<b>Classe di servizio 1</b>	È caratterizzata da un'umidità del materiale in equilibrio con l'ambiente a una temperatura di 20°C e un'umidità relativa dell'aria circostante che non superi il 65% se non per poche settimane all'anno.
<b>Classe di servizio 2</b>	È caratterizzata da un'umidità del materiale in equilibrio con l'ambiente a una temperatura di 20°C e un'umidità relativa dell'aria circostante che superi l'85% solo per poche settimane all'anno.
<b>Classe di servizio 3</b>	E' caratterizzata da umidità più elevata di quella della classe di servizio 2.

## 8 - VALUTAZIONE DELL'AZIONE SISMICA

L'azione sismica è stata valutata in conformità alle indicazioni riportate al capitolo 3.2 del D.M. 14 gennaio 2008 "Norme tecniche per le Costruzioni".

In particolare il procedimento per la definizione degli spettri di progetto per i vari Stati Limite per cui sono state effettuate le verifiche è stato il seguente:

- definizione della Vita Nominale e della Classe d'Uso della struttura, il cui uso combinato ha portato alla definizione del Periodo di Riferimento dell'azione sismica.
- Individuazione, tramite latitudine e longitudine, dei parametri sismici di base  $a_g$ ,  $F_0$  e  $T_c^*$  per tutti e quattro gli Stati Limite previsti (SLO, SLD, SLV e SLC); l'individuazione è stata effettuata interpolando tra i 4 punti più vicini al punto di riferimento dell'edificio.
- Determinazione dei coefficienti di amplificazione stratigrafica e topografica.
- Calcolo del periodo  $T_c$  corrispondente all'inizio del tratto a velocità costante dello Spettro.

I dati così calcolati sono stati utilizzati per determinare gli Spettri di Progetto nelle verifiche agli Stati Limite considerate.

Si riportano di seguito le coordinate geografiche del sito rispetto al Datum ED50:

Latitudine	Longitudine	Altitudine
[°]	[°]	[m]
37.3053	14.2150	553

### 8.1 Verifiche di regolarità

Sia per la scelta del metodo di calcolo, sia per la valutazione del fattore di struttura adottato, deve essere effettuato il controllo della regolarità della struttura.

La tabella seguente riepiloga, per la struttura in esame, le condizioni di regolarità in pianta ed in altezza soddisfatte.

REGOLARITÀ DELLA STRUTTURA IN PIANTA	
La configurazione in pianta è compatta e approssimativamente simmetrica rispetto a due direzioni ortogonali, in relazione alla distribuzione di masse e rigidezze	NO
Il rapporto tra i lati di un rettangolo in cui la costruzione risulta inscritta è inferiore a 4	NO
Nessuna dimensione di eventuali rientri o sporgenze supera il 25 % della dimensione totale della costruzione nella corrispondente direzione	NO
Gli orizzontamenti possono essere considerati infinitamente rigidi nel loro piano rispetto agli elementi verticali e sufficientemente resistenti	NO

REGOLARITÀ DELLA STRUTTURA IN ALTEZZA	
Tutti i sistemi resistenti verticali (quali telai e pareti) si estendono per tutta l'altezza della costruzione	NO
Massa e rigidezza rimangono costanti o variano gradualmente, senza bruschi cambiamenti, dalla base alla sommità della costruzione (le variazioni di massa da un orizzontamento all'altro non superano il 25 %, la rigidezza non si riduce da un orizzontamento a quello sovrastante più del 30% e non aumenta più del 10%); ai fini della rigidezza si possono considerare regolari in altezza strutture dotate di pareti o nuclei in c.a. o pareti e nuclei in muratura di sezione costante sull'altezza o di telai controventati in acciaio, ai quali sia affidato almeno il 50% dell'azione sismica alla base	NO
Nelle strutture intelaiate progettate in CD "B" il rapporto tra resistenza effettiva e resistenza richiesta dal calcolo non è significativamente diverso per orizzontamenti diversi (il rapporto fra la resistenza effettiva e quella richiesta, calcolata ad un generico orizzontamento, non deve differire più del 20% dall'analogo rapporto determinato per un altro orizzontamento); può fare eccezione l'ultimo orizzontamento di strutture intelaiate di almeno tre orizzontamenti <b>[non significativo per le strutture in muratura]</b>	-
Eventuali restringimenti della sezione orizzontale della costruzione avvengono in modo graduale da un orizzontamento al successivo, rispettando i seguenti limiti: ad ogni orizzontamento il rientro non supera il 30% della dimensione corrispondente al primo orizzontamento, né il 20% della dimensione corrispondente all'orizzontamento immediatamente sottostante. Fa eccezione l'ultimo orizzontamento di costruzioni di almeno quattro piani per il quale non sono previste limitazioni di restringimento	NO

La rigidezza è calcolata come rapporto fra il taglio complessivamente agente al piano e  $\delta$ , spostamento relativo di piano (il taglio di piano è la sommatoria delle azioni orizzontali agenti al di sopra del piano considerato).

Tutti i valori calcolati ed utilizzati per le verifiche sono riportati nei tabulati di calcolo nella relativa sezione.

La struttura è pertanto:

- NON REGOLARE in pianta
- NON REGOLARE in altezza

### 8.2 Spettri di Progetto per S.L.U. e S.L.D.

L'edificio è stato progettato per una Vita Nominale pari a **50** e per Classe d'Uso pari a **2**.

In base alle indagini geognostiche effettuate si è classificato il suolo di fondazione di categoria **B**, cui corrispondono i seguenti valori per i parametri necessari alla costruzione degli spettri di risposta orizzontale e verticale:

Stato Limite	Parametri di pericolosità sismica							
	$a_g$ [g]	$F_0$	$T^*_c$ [s]	$C_c$	$T_B$ [s]	$T_c$ [s]	$T_D$ [s]	$S_s$ [s]
SLO	0.0268	2.462	0.210	1.50	0.105	0.316	1.707	1.20
SLD	0.0333	2.488	0.260	1.44	0.125	0.374	1.733	1.20
SLV	0.0814	2.593	0.448	1.29	0.193	0.578	1.926	1.20
SLC	0.1141	2.581	0.540	1.24	0.224	0.672	2.056	1.20

Per la definizione degli spettri di risposta, oltre all'accelerazione  $a_g$  al suolo (dipendente dalla classificazione sismica del Comune) occorre determinare il Fattore di Struttura  $q$ .

Il Fattore di struttura  $q$  è un fattore riduttivo delle forze elastiche introdotto per tenere conto delle capacità dissipative della struttura che dipende dal sistema costruttivo adottato, dalla Classe di Duttilità e dalla regolarità in altezza.

Si è inoltre assunto il Coefficiente di Amplificazione Topografica  $S_T$  pari a **1,00**.

Tali succitate caratteristiche sono riportate negli allegati tabulati di calcolo al punto "DATI GENERALI ANALISI SISMICA".

Per la struttura in esame sono stati determinati i seguenti valori:

#### Stato Limite di salvaguardia della Vita

Fattore di Struttura  $q$  per sisma orizzontale in direzione X: **2,25**

Fattore di Struttura  $q$  per sisma orizzontale in direzione Y: **2,25**

Fattore di Struttura  $q$  per sisma verticale: **1,50**

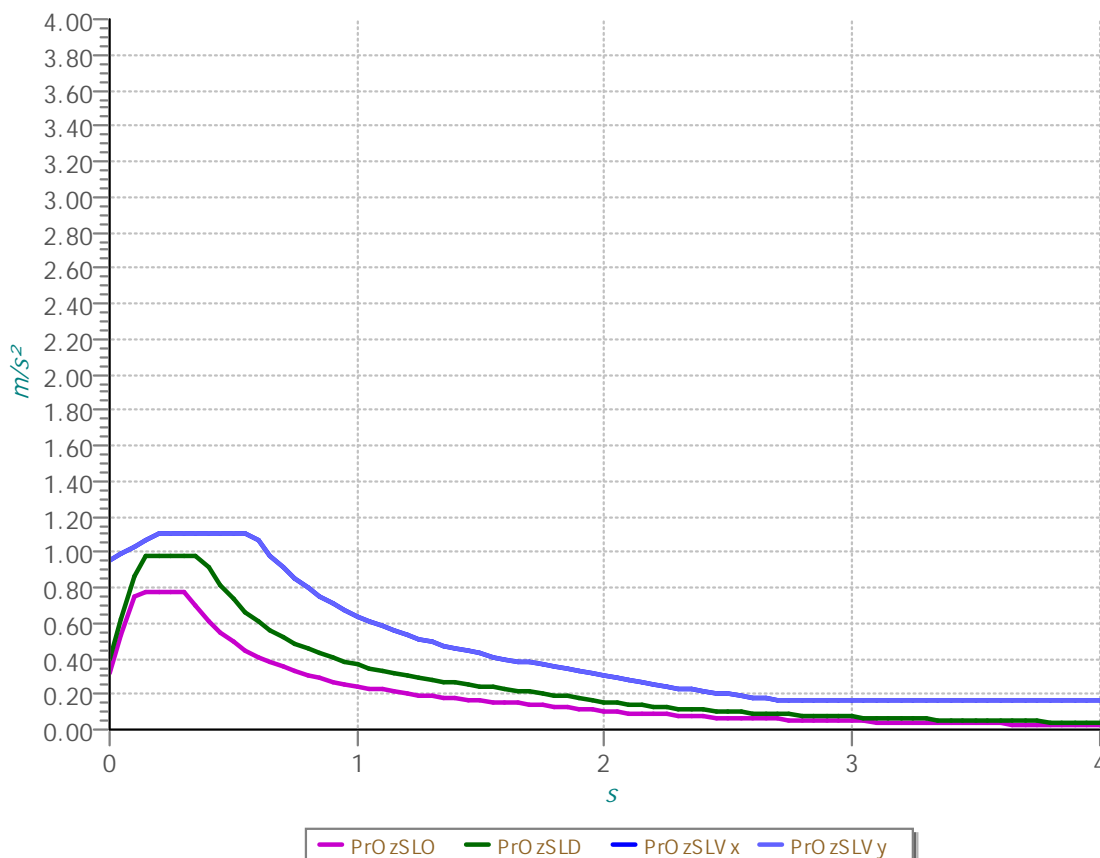
Essendo la struttura oggetto di studio una **struttura esistente**, il fattore di struttura è invece calcolato secondo quanto indica la *Circolare 2 febbraio 2009 n. 617 del Ministero delle Infrastrutture e dei Trasporti*, al § C8.7.1.2. Per la verifica di edifici con analisi lineare ed impiego del fattore  $q$ , il valore da utilizzare per quest'ultimo è pari a:

- $q = 2,0 \times \alpha_u / \alpha_1$  per edifici regolari in elevazione
- $q = 1,5 \times \alpha_u / \alpha_1$  negli altri casi

in cui  $\alpha_u$  e  $\alpha_1$  sono definiti al § 7.8.1.3 delle NTC. In assenza di più precise valutazioni, potrà essere assunto un rapporto  $\alpha_u / \alpha_1$  pari a 1,5.

Gli spettri utilizzati sono riportati nella successiva figura.

## SPETTRI di RISPOSTA di ACCELERAZIONE



### 8.3 Metodo di Analisi

Il calcolo delle azioni sismiche è stato eseguito in analisi dinamica modale, considerando il comportamento della struttura in regime elastico lineare.

Il numero di modi di vibrazione considerato (15) ha consentito, nelle varie condizioni, di mobilitare le seguenti percentuali delle masse della struttura:

Stato Limite	Direzione Sisma	%
salvaguardia della vita	X	72.7
salvaguardia della vita	Y	73.4
salvaguardia della vita	Z	100.0

Per valutare la risposta massima complessiva di una generica caratteristica E, conseguente alla sovrapposizione dei modi, si è utilizzata una tecnica di combinazione probabilistica definita CQC (Complete Quadratic Combination - Combinazione Quadratica Completa):

$$E = \sqrt{\sum_{i,j=1,n} \rho_{ij} \cdot E_i \cdot E_j}$$

con:

$$\rho_{ij} = \frac{8\xi^2 \cdot (1 + \beta_{ij}) \cdot \beta_{ij}^{\frac{3}{2}}}{(1 - \beta_{ij}^2)^2 + 4\xi^2 \cdot \beta_{ij} \cdot (1 + \beta_{ij}^2)} \quad \beta_{ij} = \frac{\omega_i}{\omega_j}$$

dove:

- n è il numero di modi di vibrazione considerati  
 $\xi$  è il coefficiente di smorzamento viscoso equivalente espresso in percentuale;  
 $\beta_{ij}$  è il rapporto tra le frequenze di ciascuna coppia i-j di modi di vibrazione.

Le sollecitazioni derivanti da tali azioni sono state composte poi con quelle derivanti da carichi verticali, orizzontali non sismici secondo le varie combinazioni di carico probabilistiche. Il calcolo è stato effettuato mediante un programma agli elementi finiti le cui caratteristiche verranno descritte nel seguito.

Il calcolo degli effetti dell'azione sismica è stato eseguito con riferimento alla struttura spaziale, tenendo cioè conto degli elementi interagenti fra loro secondo l'effettiva realizzazione escludendo i tamponamenti. Non ci sono approssimazioni su tetti inclinati, piani sfalsati o scale, solette, pareti irrigidenti e nuclei.

Si è tenuto conto delle deformabilità taglianti e flessionali degli elementi monodimensionali; muri, pareti, setti, solette sono stati correttamente schematizzati tramite elementi finiti a tre/quattro nodi con comportamento a guscio (sia a piastra che a lastra).

Sono stati considerati sei gradi di libertà per nodo; in ogni nodo della struttura sono state applicate le forze sismiche derivanti dalle masse circostanti.

Le sollecitazioni derivanti da tali forze sono state poi combinate con quelle derivanti dagli altri carichi come prima specificato.

#### **8.4 Valutazione degli spostamenti**

Gli spostamenti  $d_E$  della struttura sotto l'azione sismica di progetto allo SLV si ottengono moltiplicando per il fattore  $\mu_d$  i valori  $d_{Ee}$  ottenuti dall'analisi lineare, dinamica o statica, secondo l'espressione seguente:

$$d_E = \pm \mu_d \cdot d_{Ee}$$

dove

$$\begin{aligned} \mu_d &= q && \text{se } T1 \geq TC \\ \mu_d &= 1 + (q - 1) \cdot TC/T1 && \text{se } T1 < TC \end{aligned}$$

In ogni caso  $\mu_d \leq 5q - 4$ .

#### **8.5 Combinazione delle componenti dell'azione sismica**

Il sisma viene convenzionalmente considerato come agente separatamente in due direzioni tra loro ortogonali prefissate; per tenere conto che nella realtà il moto del terreno durante l'evento sismico ha direzione casuale e in accordo con le prescrizioni normative, per ottenere l'effetto complessivo del sisma, a partire dagli effetti delle direzioni calcolati separatamente, si è provveduto a sommare i massimi ottenuti in una direzione con il 30% dei massimi ottenuti per l'azione applicata nell'altra direzione. L'azione sismica verticale è stata considerata in presenza di elementi pressoché orizzontali con luce superiore a 20 m, di elementi principali precompressi o di elementi a mensola.

#### **8.6 Eccentricità accidentali**

Per valutare le eccentricità accidentali, previste in aggiunta all'eccentricità effettiva sono state considerate condizioni di carico aggiuntive ottenute applicando l'azione sismica nelle posizioni del centro di massa di ogni piano ottenute traslando gli stessi, in ogni direzione considerata, di una distanza pari a +/- 5% della dimensione massima del piano in direzione perpendicolare all'azione sismica.

### **9 - AZIONI SULLA STRUTTURA**

I calcoli e le verifiche sono condotti con il metodo semiprobabilistico degli stati limite secondo le indicazioni del D.M. 14 gennaio 2008.

I carichi agenti sui solai, derivanti dall'analisi dei carichi, vengono ripartiti dal programma di calcolo in modo automatico sulle membrature (travi, pilastri, pareti, solette, platee, ecc.).

I carichi dovuti ai tamponamenti, sia sulle travi di fondazione che su quelle di piano, sono schematizzati come carichi lineari agenti esclusivamente sulle aste.

Su tutti gli elementi strutturali è inoltre possibile applicare direttamente ulteriori azioni concentrate e/o distribuite (variabili con legge lineare ed agenti lungo tutta l'asta o su tratti limitati di essa).

Le azioni introdotte direttamente sono combinate con le altre (carichi permanenti, accidentali e sisma) mediante le combinazioni di carico di seguito descritte; da esse si ottengono i valori probabilistici da impiegare successivamente nelle verifiche.

### 9.1 Stato Limite di Salvaguardia della Vita

Le azioni sulla costruzione sono state cumulate in modo da determinare condizioni di carico tali da risultare più sfavorevoli ai fini delle singole verifiche, tenendo conto della probabilità ridotta di intervento simultaneo di tutte le azioni con i rispettivi valori più sfavorevoli, come consentito dalle norme vigenti.

Per gli stati limite ultimi sono state adottate le combinazioni del tipo:

$$\gamma_{G1} \cdot G_1 + \gamma_{G2} \cdot G_2 + \gamma_P \cdot P + \gamma_{Q1} \cdot Q_{k1} + \gamma_{Q2} \cdot \psi_{02} \cdot Q_{k2} + \gamma_{Q3} \cdot \psi_{03} \cdot Q_{k3} + \dots \quad (1)$$

dove:

- G<sub>1</sub> rappresenta il peso proprio di tutti gli elementi strutturali; peso proprio del terreno, quando pertinente; forze indotte dal terreno (esclusi gli effetti di carichi variabili applicati al terreno); forze risultanti dalla pressione dell'acqua (quando si configurino costanti nel tempo);
- G<sub>2</sub> rappresenta il peso proprio di tutti gli elementi non strutturali;
- P rappresenta l'azione di pretensione e/o precompressione;
- Q azioni sulla struttura o sull'elemento strutturale con valori istantanei che possono risultare sensibilmente diversi fra loro nel tempo:
  - di lunga durata: agiscono con un'intensità significativa, anche non continuativamente, per un tempo non trascurabile rispetto alla vita nominale della struttura;
  - di breve durata: azioni che agiscono per un periodo di tempo breve rispetto alla vita nominale della struttura;
- Q<sub>ki</sub> rappresenta il valore caratteristico della i-esima azione variabile;
- γ<sub>g</sub>, γ<sub>q</sub>, γ<sub>p</sub> coefficienti parziali come definiti nella tabella 2.6.I del DM 14 gennaio 2008;
- ψ<sub>0i</sub> sono i coefficienti di combinazione per tenere conto della ridotta probabilità di concomitanza delle azioni variabili con i rispettivi valori caratteristici.

Le 96 combinazioni risultanti sono state costruite a partire dalle sollecitazioni caratteristiche calcolate per ogni condizione di carico elementare: ciascuna condizione di carico accidentale, a rotazione, è stata considerata sollecitazione di base (Q<sub>k1</sub> nella formula precedente).

I coefficienti relativi a tali combinazioni di carico sono riportati negli allegati tabulati di calcolo.

In zona sismica, oltre alle sollecitazioni derivanti dalle generiche condizioni di carico statiche, devono essere considerate anche le sollecitazioni derivanti dal sisma. L'azione sismica è stata combinata con le altre azioni secondo la seguente relazione:

$$G_1 + G_2 + P + E + \sum_i \psi_{2i} \cdot Q_{ki}$$

dove:

- E rappresenta l'azione sismica per lo stato limite in esame;
- G<sub>1</sub> rappresenta peso proprio di tutti gli elementi strutturali;
- G<sub>2</sub> rappresenta il peso proprio di tutti gli elementi non strutturali;
- P rappresenta l'azione di pretensione e/o precompressione;
- ψ<sub>2i</sub> coefficiente di combinazione delle azioni variabili Q<sub>i</sub>;
- Q<sub>ki</sub> valore caratteristico dell'azione variabile Q<sub>i</sub>.

Gli effetti dell'azione sismica sono valutati tenendo conto delle masse associate ai seguenti carichi gravitazionali:

$$G_K + \sum_i (\psi_{2i} \cdot Q_{ki})$$

I valori dei coefficienti  $\psi_{2i}$  sono riportati nella seguente tabella:

Categoria/Azione	$\psi_{2i}$
Categoria A – Ambienti ad uso residenziale	0,3
Categoria B – Uffici	0,3
Categoria C – Ambienti suscettibili di affollamento	0,6
Categoria D – Ambienti ad uso commerciale	0,6
Categoria E – Biblioteche, archivi, magazzini e ambienti ad uso industriale	0,8
Categoria F – Rimesse e parcheggi (per autoveicoli di peso $\leq 30$ kN)	0,6
Categoria G – Rimesse e parcheggi (per autoveicoli di peso $> 30$ kN)	0,3
Categoria H – Coperture	0,0
Vento	0,0
Neve (a quota $\leq 1000$ m s.l.m.)	0,0
Neve (a quota $> 1000$ m s.l.m.)	0,2
Variazioni termiche	0,0

Le verifiche strutturali e geotecniche, come definite al punto 2.6.1 del D.M. 14 gennaio 2008, sono state effettuate con l'**Approccio 2** come definito al citato punto, definito sinteticamente come (A1+M1+R3); le azioni sono state amplificate tramite i coefficienti della colonna A1 definiti nella tabella 6.2.1 del D.M. 14 gennaio 2008, i valori di resistenza del terreno sono stati considerati al loro valore caratteristico (coefficienti M1 della tabella 2.6.11 tutti unitari), i valori calcolati delle resistenze totali dell'elemento strutturale sono stati divisi per R3 nelle verifiche di tipo GEO.

Si è quindi provveduto a progettare le armature di ogni elemento strutturale per ciascuno dei valori ottenuti secondo le modalità precedentemente illustrate. Nella sezione relativa alle verifiche dei "Tabulati di calcolo" in allegato sono riportati, per brevità, i valori della sollecitazione relativi alla combinazione cui corrisponde il minimo valore del coefficiente di sicurezza.

## 9.2 Stato Limite di Danno

L'azione sismica, ottenuta dallo spettro di progetto per lo Stato Limite di Danno, è stata combinata con le altre azioni mediante una relazione del tutto analoga alla precedente:

$$G_1 + G_2 + P + E + \sum_i \psi_{2i} \cdot Q_{ki}$$

dove:

- E rappresenta l'azione sismica per lo stato limite in esame;
- $G_1$  rappresenta peso proprio di tutti gli elementi strutturali;
- $G_2$  rappresenta il peso proprio di tutti gli elementi non strutturali
- P rappresenta l'azione di pretensione e/o precompressione;
- $\psi_{2i}$  coefficiente di combinazione delle azioni variabili  $Q_i$ ;
- $Q_{ki}$  valore caratteristico dell'azione variabile  $Q_i$ .

Gli effetti dell'azione sismica sono valutati tenendo conto delle masse associate ai seguenti carichi gravitazionali:

$$G_K + \sum_i (\psi_{2i} \cdot Q_{ki})$$

I valori dei coefficienti  $\psi_{2i}$  sono riportati nella tabella di cui allo SLV.

## 9.3 Stati Limite di Esercizio

Allo Stato Limite di Esercizio le sollecitazioni con cui sono state semiprogettate le aste in c.a. sono state ricavate applicando le formule riportate nel D.M. 14 gennaio 2008 - Norme tecniche per le costruzioni - al punto 2.5.3. Per le verifiche agli stati limite di esercizio, a seconda dei casi, si fa riferimento alle seguenti combinazioni di carico:

combinazione rara 
$$F_d = \sum_{j=1}^m (G_{Kj}) + Q_{k1} + \sum_{i=2}^n (\psi_{0i} \cdot Q_{ki}) + \sum_{h=1}^l (P_{kh})$$

combinazione frequente 
$$F_d = \sum_{j=1}^m (G_{Kj}) + \psi_{11} \cdot Q_{k1} + \sum_{i=2}^n (\psi_{2i} \cdot Q_{ki}) + \sum_{h=1}^l (P_{kh})$$

combinazione quasi permanente 
$$F_d = \sum_{j=1}^m (G_{Kj}) + \psi_{21} \cdot Q_{k1} + \sum_{i=2}^n (\psi_{2i} \cdot Q_{ki}) + \sum_{h=1}^l (P_{kh})$$

dove:

- $G_{Kj}$  valore caratteristico della j-esima azione permanente;
- $P_{kh}$  valore caratteristico della h-esima deformazione impressa;
- $Q_{k1}$  valore caratteristico dell'azione variabile di base di ogni combinazione;
- $Q_{ki}$  valore caratteristico della i-esima azione variabile;
- $\psi_{0i}$  coefficiente atto a definire i valori delle azioni ammissibili di durata breve ma ancora significativi nei riguardi della possibile concomitanza con altre azioni variabili;
- $\psi_{1i}$  coefficiente atto a definire i valori delle azioni ammissibili ai frattili di ordine 0,95 delle distribuzioni dei valori istantanei;
- $\psi_{2i}$  coefficiente atto a definire i valori quasi permanenti delle azioni ammissibili ai valori medi delle distribuzioni dei valori istantanei.

Ai coefficienti  $\psi_{0i}$ ,  $\psi_{1i}$ ,  $\psi_{2i}$  sono attribuiti i seguenti valori:

Azione	$\psi_{0i}$	$\psi_{1i}$	$\psi_{2i}$
Categoria A – Ambienti ad uso residenziale	0,7	0,5	0,3
Categoria B – Uffici	0,7	0,5	0,3
Categoria C – Ambienti suscettibili di affollamento	0,7	0,7	0,6
Categoria D – Ambienti ad uso commerciale	0,7	0,7	0,6
Categoria E – Biblioteche, archivi, magazzini e ambienti ad uso industriale	1,0	0,9	0,8
Categoria F – Rimesse e parcheggi (per autoveicoli di peso $\leq 30$ kN)	0,7	0,7	0,6
Categoria G – Rimesse e parcheggi (per autoveicoli di peso $> 30$ kN)	0,7	0,5	0,3
Categoria H – Coperture	0,0	0,0	0,0
Vento	0,6	0,2	0,0
Neve (a quota $\leq 1000$ m s.l.m.)	0,5	0,2	0,0
Neve (a quota $> 1000$ m s.l.m.)	0,7	0,5	0,2
Variazioni termiche	0,6	0,5	0,0

In maniera analoga a quanto illustrato nel caso dello SLU le combinazioni risultanti sono state costruite a partire dalle sollecitazioni caratteristiche calcolate per ogni condizione di carico; a turno ogni condizione di carico accidentale è stata considerata sollecitazione di base ( $Q_{k1}$  nella formula (1)), con ciò dando origine a tanti valori combinati. Per ognuna delle combinazioni ottenute, in funzione dell'elemento (trave, pilastro, etc...) sono state effettuate le verifiche allo SLE (tensioni, deformazioni e fessurazione).

Negli allegati tabulati di calcolo sono riportanti i coefficienti relativi alle combinazioni di calcolo generate relativamente alle combinazioni di azioni "Quasi Permanente" (1), "Frequente" (3) e "Rara" (4).

Nelle sezioni relative alle verifiche allo SLE dei citati tabulati, inoltre, sono riportati i valori delle sollecitazioni relativi alle combinazioni che hanno originato i risultati più gravosi.

## 10 - CODICE DI CALCOLO IMPIEGATO

### 10.1 Denominazione

Nome del Software	<b>EdiLus</b>
Versione	26.00a
Caratteristiche del Software	Software per il calcolo di strutture agli elementi finiti per Windows
Numero di serie	89051336
Intestatario Licenza	CACIOPPO ing. SALVATORE ANTONIO
Produzione e Distribuzione	<b>ACCA software S.p.A.</b> Via Michelangelo Cianciulli 83048 Montella (AV) Tel. 0827/69504 r.a. - Fax 0827/601235 e-mail: info@acca.it - Internet: www.acca.it

### 10.2 Sintesi delle funzionalità generali

Il pacchetto consente di modellare la struttura, di effettuare il dimensionamento e le verifiche di tutti gli elementi strutturali e di generare gli elaborati grafici esecutivi.

È una procedura integrata dotata di tutte le funzionalità necessarie per consentire il calcolo completo di una struttura mediante il metodo degli elementi finiti (FEM); la modellazione della struttura è realizzata tramite elementi Beam (travi e pilastri) e Shell (platee, pareti, solette, setti, travi-parete).

L'input della struttura avviene per oggetti (travi, pilastri, solai, solette, pareti, etc.) in un ambiente grafico integrato; il modello di calcolo agli elementi finiti, che può essere visualizzato in qualsiasi momento in una apposita finestra, viene generato dinamicamente dal software.

Apposite funzioni consentono la creazione e la manutenzione di archivi Sezioni, Materiali e Carichi; tali archivi sono generali, nel senso che sono creati una tantum e sono pronti per ogni calcolo, potendoli comunque integrare/modificare in ogni momento.

L'utente non può modificare il codice ma soltanto eseguire delle scelte come:

- definire i vincoli di estremità per ciascuna asta (vincoli interni) e gli eventuali vincoli nei nodi (vincoli esterni);
- modificare i parametri necessari alla definizione dell'azione sismica;
- definire condizioni di carico;
- definire gli impalcati come rigidi o meno.

Il programma è dotato di un manuale tecnico ed operativo. L'assistenza è effettuata direttamente dalla casa produttrice, mediante linea telefonica o e-mail.

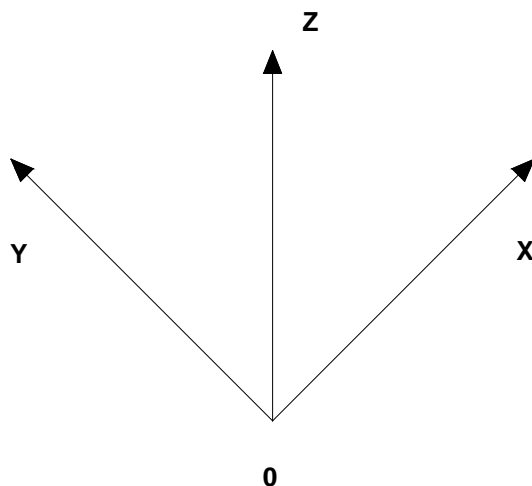
Il calcolo si basa sul solutore agli elementi finiti MICROSAP prodotto dalla società TESYS srl. La scelta di tale codice è motivata dall'elevata affidabilità dimostrata e dall'ampia documentazione a disposizione, dalla quale risulta la sostanziale uniformità dei risultati ottenuti su strutture standard con i risultati internazionalmente accettati ed utilizzati come riferimento.

Tutti i risultati del calcolo sono forniti, oltre che in formato numerico, anche in formato grafico permettendo così di evidenziare agevolmente eventuali incongruenze.

Il programma consente la stampa di tutti i dati di input, dei dati del modello strutturale utilizzato, dei risultati del calcolo e delle verifiche dei diagrammi delle sollecitazioni e delle deformate.

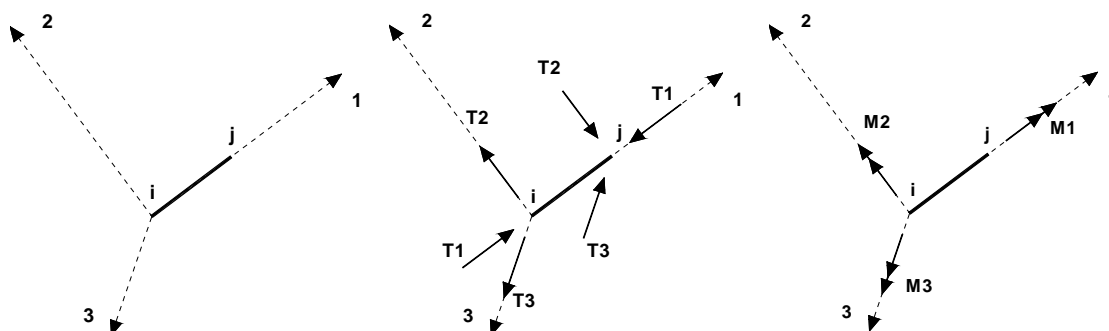
## 10.3 Sistemi di Riferimento

### 10.3.1 Riferimento globale



Il sistema di riferimento globale, rispetto al quale va riferita l'intera struttura, è costituito da una terna di assi cartesiani sinistrorsa O,X,Y,Z (X,Y, e Z sono disposti e orientati rispettivamente secondo il pollice, l'indice ed il medio della mano destra, una volta posizionati questi ultimi a 90° tra loro).

### 10.3.2 Riferimento locale per travi



L'elemento Trave è un classico elemento strutturale in grado di ricevere Carichi distribuiti e Carichi Nodali applicati ai due nodi di estremità; per effetto di tali carichi nascono, negli estremi, sollecitazioni di taglio, sforzo normale, momenti flettenti e torcenti.

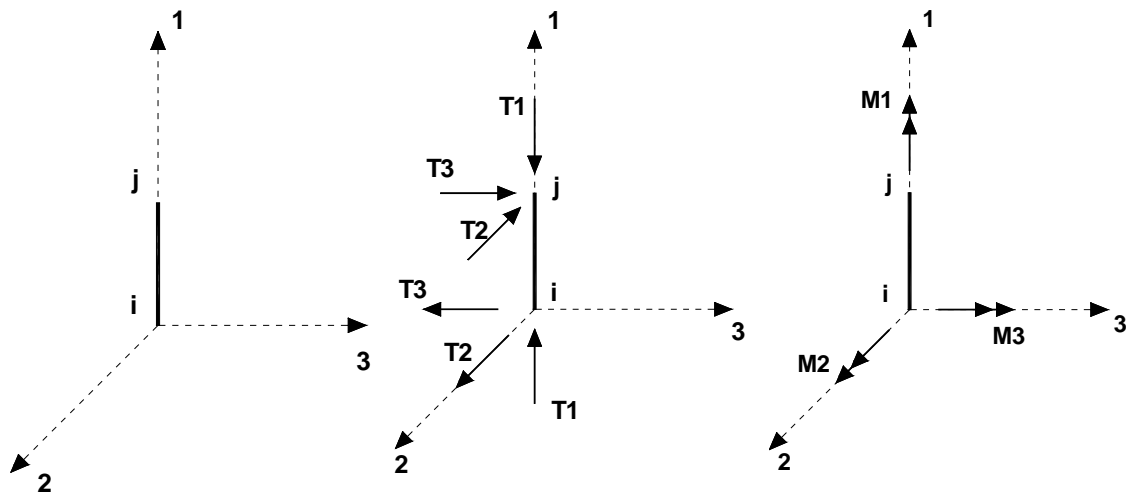
Definiti i e j i nodi iniziale e finale della Trave, viene individuato un sistema di assi cartesiani 1-2-3 locale all'elemento, con origine nel Nodo i così composto:

- asse 1 orientato dal nodo i al nodo j;
- assi 2 e 3 appartenenti alla sezione dell'elemento e coincidenti con gli assi principali d'inerzia della sezione stessa.

Le sollecitazioni verranno fornite in riferimento a tale sistema di riferimento:

- Sollecitazione di Trazione o Compressione T1 (agente nella direzione i-j);
- Sollecitazioni taglianti T2 e T3, agenti nei due piani 1-2 e 1-3, rispettivamente secondo l'asse 2 e l'asse 3;
- Sollecitazioni che inducono flessione nei piani 1-3 e 1-2 (M2 e M3);
- Sollecitazione torcente M1.

### 10.3.3 Riferimento locale per pilastri



Definiti i e j come i due nodi iniziale e finale del pilastro, viene individuato un sistema di assi cartesiani 1-2-3 locale all'elemento, con origine nel Nodo i così composto:

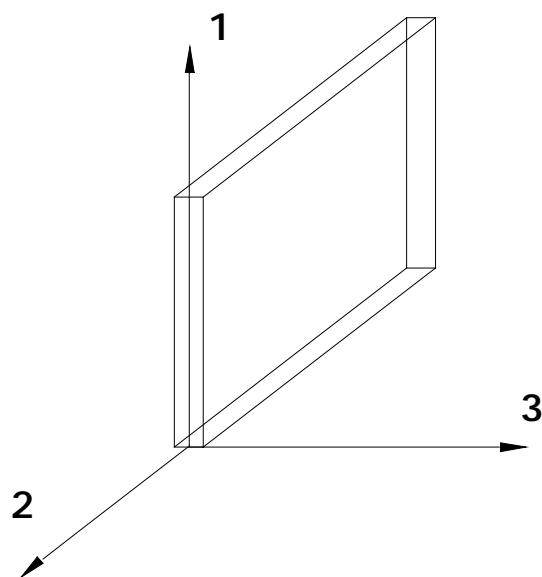
- asse 1 orientato dal nodo i al nodo j;
- asse 2 perpendicolare all' asse 1, parallelo e discorde all'asse globale Y;
- asse 3 che completa la terna destrorsa, parallelo e concorde all'asse globale X.

Tale sistema di riferimento è valido per Pilastri con angolo di rotazione pari a '0' gradi; una rotazione del pilastro nel piano XY ha l'effetto di ruotare anche tale sistema (ad es. una rotazione di '90' gradi porterebbe l'asse 2 a essere parallelo e concorde all'asse X, mentre l'asse 3 sarebbe parallelo e concorde all'asse globale Y). La rotazione non ha alcun effetto sull'asse 1 che coinciderà sempre e comunque con l'asse globale Z.

Per quanto riguarda le sollecitazioni si ha:

- una forza di trazione o compressione T1, agente lungo l'asse locale 1;
- due forze taglianti T2 e T3 agenti lungo i due assi locali 2 e 3;
- due vettori momento (flettente) M2 e M3 agenti lungo i due assi locali 2 e 3;
- un vettore momento (torcente) M1 agente lungo l'asse locale nel piano 1.

### 10.3.4 Riferimento locale per pareti



Una parete è costituita da una sequenza di setti; ciascun setto è caratterizzato da un sistema di riferimento locale 1-2-3 così individuato:

- asse 1, coincidente con l'asse globale Z;
- asse 2, parallelo e discorde alla linea d'asse della traccia del setto in pianta;
- asse 3, ortogonale al piano della parete, che completa la terna levogira.

Su ciascun setto l'utente ha la possibilità di applicare uno o più carichi uniformemente distribuiti comunque orientati nello spazio; le componenti di tali carichi possono essere fornite, a discrezione dell'utente, rispetto al riferimento globale X,Y,Z oppure rispetto al riferimento locale 1,2,3 appena definito.

Si rende necessario, a questo punto, meglio precisare le modalità con cui EdiLus restituisce i risultati di calcolo.

Nel modello di calcolo agli elementi finiti ciascun setto è discretizzato in una serie di elementi tipo "shell" interconnessi; il solutore agli elementi finiti integrato nel programma EdiLus, definisce un riferimento locale per ciascun elemento shell e restituisce i valori delle tensioni esclusivamente rispetto a tali riferimenti.

Il software EdiLus provvede ad omogeneizzare tutti i valori riferendoli alla terna 1-2-3. Tale operazione consente, in fase di input, di ridurre al minimo gli errori dovuti alla complessità d'immissione dei dati stessi ed allo stesso tempo di restituire all'utente dei risultati facilmente interpretabili.

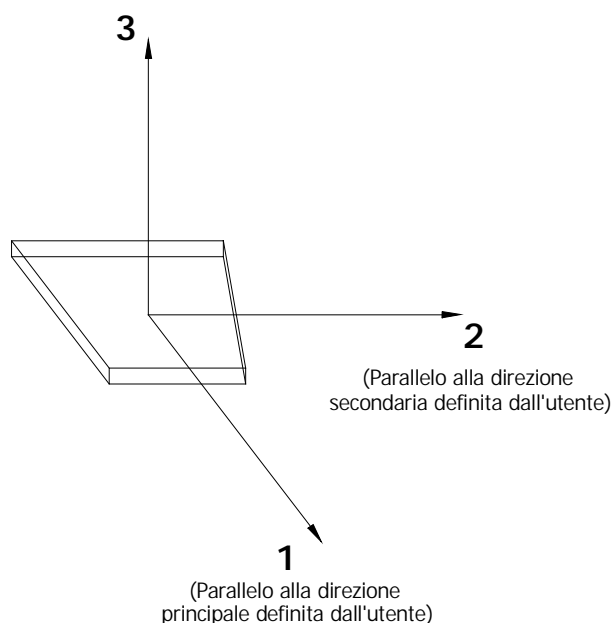
Tutti i dati cioè, sia in fase di input che in fase di output, sono organizzati secondo un criterio razionale vicino al modo di operare del tecnico e svincolato dal procedimento seguito dall'elaboratore elettronico.

In tal modo ad esempio, il significato dei valori delle tensioni può essere compreso con immediatezza non solo dal progettista che ha operato con il programma ma anche da un tecnico terzo non coinvolto nell'elaborazione; entrambi, così, potranno controllare con facilità dal tabulato di calcolo, la congruità dei valori riportati.

Un'ultima notazione deve essere riservata alla modalità con cui il programma fornisce le armature delle pareti, con riferimento alla faccia anteriore e posteriore.

La faccia anteriore è quella di normale uscente concorde all'asse 3 come prima definito o, identicamente, quella posta alla destra dell'osservatore che percorresse il bordo superiore della parete concordemente al verso di tracciamento.

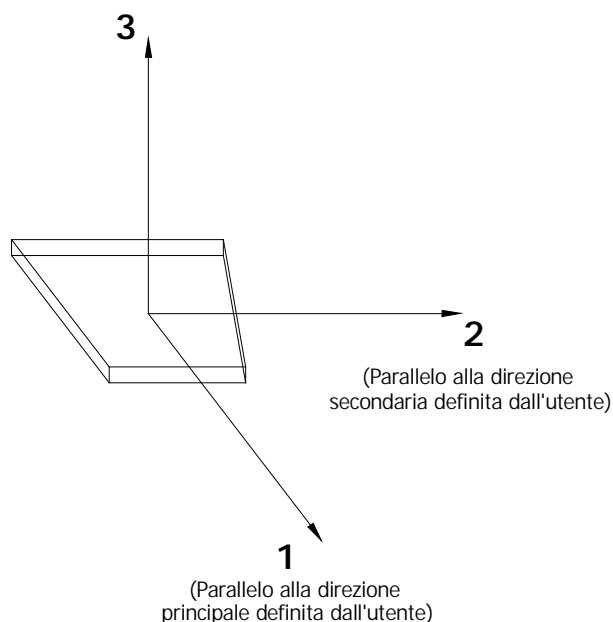
### 10.3.5 Riferimento locale per solette



In maniera analoga a quanto avviene per i setti, ciascuna soletta è caratterizzata da un sistema di riferimento locale 1,2,3 così definito:

- asse 1, coincidente con la direzione principale di armatura;
- asse 2, coincidente con la direzione secondaria di armatura;
- asse 3, ortogonale al piano della parete, che completa la terna levogira.

### 10.3.6 Riferimento locale per platee



Anche per le platee, analogamente a quanto descritto per le solette, è definito un sistema di riferimento locale 1,2,3:

- asse 1, coincidente con la direzione principale di armatura;
- asse 2, coincidente con la direzione secondaria di armatura;
- asse 3, ortogonale al piano della parete, che completa la terna levogira.

---

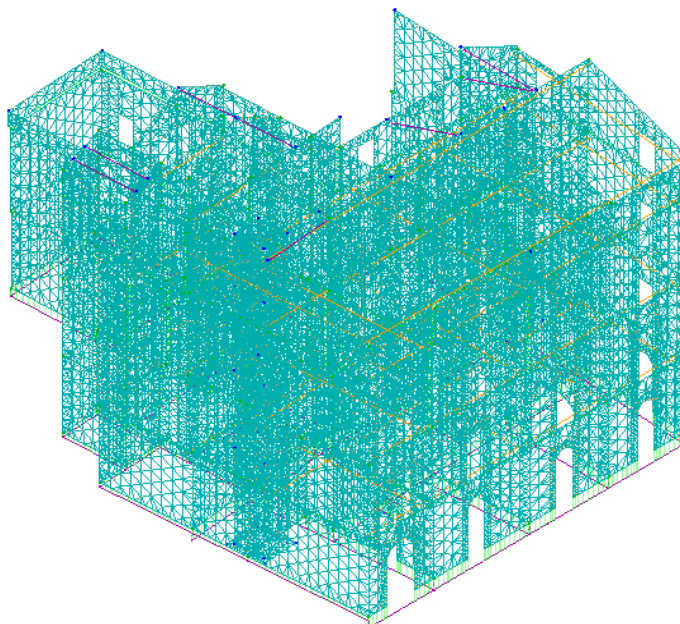
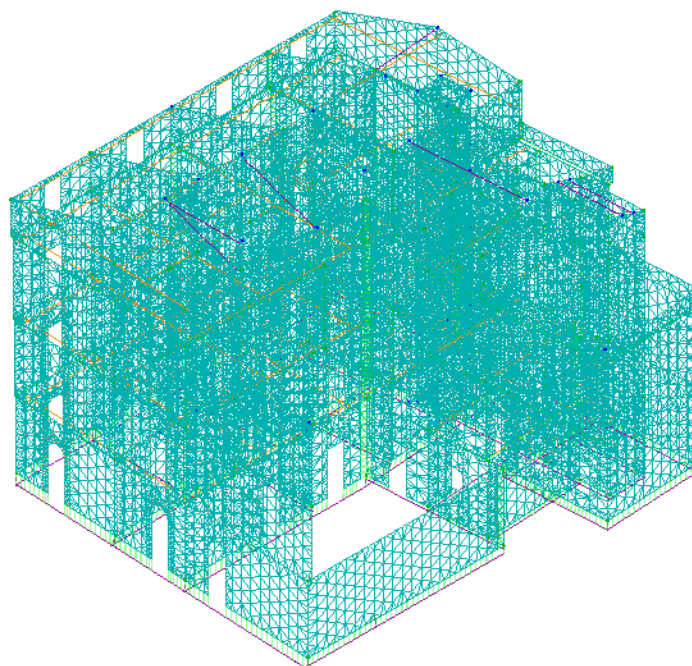
## 10.4 Modello di Calcolo

Il modello della struttura viene creato automaticamente dal codice di calcolo, individuando i vari elementi strutturali e fornendo le loro caratteristiche geometriche e meccaniche.

Viene definita un'opportuna numerazione degli elementi (nodi, aste, shell) costituenti il modello, al fine di individuare celermente ed univocamente ciascun elemento nei tabulati di calcolo.

Qui di seguito è fornita una rappresentazione grafica dettagliata della discretizzazione operata con evidenziazione dei nodi e degli elementi.

**Vista Anteriore**



**Vista Posteriore**

Dalle illustrazioni precedenti si evince come le aste, sia travi che pilastri, siano schematizzate con un tratto flessibile centrale e da due tratti (braccetti) rigidi alle estremità. I nodi vengono posizionati sull'asse verticale dei pilastri, in corrispondenza dell'estradosso della trave più alta che in esso si collega. Tramite i

Restauro del palazzo Bartoli a Mazzarino e adeguamento alle norme di sicurezza e agibilità

braccetti i tratti flessibili sono quindi collegati ad esso.

In questa maniera il nodo risulta perfettamente aderente alla realtà poiché vengono presi in conto tutti gli eventuali disassamenti degli elementi con gli effetti che si possono determinare, quali momenti flettenti/torcenti aggiuntivi.

Le sollecitazioni vengono determinate, com'è corretto, solo per il tratto flessibile. Sui tratti rigidi, infatti, essendo (teoricamente) nulle le deformazioni le sollecitazioni risultano indeterminate.

Questa schematizzazione dei nodi viene automaticamente realizzata dal programma anche quando il nodo sia determinato dall'incontro di più travi senza il pilastro, o all'attacco di travi/pilastri con elementi shell.

### **10.5 Progetto e Verifica degli elementi strutturali**

La verifica degli elementi allo SLU avviene col seguente procedimento:

- si costruiscono le combinazioni non sismiche in base al D.M. 14.01.2008, ottenendo un insieme di sollecitazioni;
- si combinano tali sollecitazioni con quelle dovute all'azione del sisma secondo quanto indicato nel § 2.5.3, relazione (2.5.5) del D.M. 14/01/2008.
- per sollecitazioni semplici (flessione retta, taglio, etc.) si individuano i valori minimo e massimo con cui progettare o verificare l'elemento considerato; per sollecitazioni composte (pressoflessione retta/deviata) vengono eseguite le verifiche per tutte le possibili combinazioni e solo a seguito di ciò si individua quella che ha originato il minimo coefficiente di sicurezza.

#### **10.5.1 Verifica della sicurezza**

Per quanto concerne la verifica degli elementi in muratura (maschi e fasce), visto che tali elementi sono schematizzati attraverso elementi FEM di tipo shell (HP Shell), si procede, preventivamente, a determinare le sollecitazioni agenti, attraverso l'integrazione delle tensioni eseguite su almeno tre sezioni (in testa, al piede ed in mezzeria per i maschi; a destra, a sinistra ed in mezzeria per le fasce). Una volta determinate le sollecitazioni (sforzo normale, momento e taglio nel piano e momento fuori piano) si procede alle verifiche di resistenza su tali elementi.

In particolare, per i **maschi murari**, vengono eseguite le seguenti verifiche:

- **Pressoflessione nel piano:** la verifica, per gli elementi in muratura ordinaria, si effettua confrontando il momento agente di calcolo con il momento ultimo resistente, calcolato assumendo la muratura non reagente a trazione ed un'opportuna distribuzione non lineare delle compressioni, secondo l'espressione (7.8.2) del DM 14/01/2008.
- **Taglio nel piano:** la verifica, per gli elementi in muratura ordinaria, si effettua confrontando il taglio agente di calcolo con il taglio ultimo resistente calcolato secondo l'espressione (7.8.3) del DM 14/01/2008.
- **Pressoflessione fuori piano:** la verifica, degli elementi in muratura ordinaria, per le combinazioni sismiche, si effettua confrontando il momento agente di calcolo con il momento ultimo resistente, calcolato assumendo un diagramma delle compressioni rettangolare, con un valore di resistenza pari a  $0.85 \cdot f_d$  e trascurando la resistenza a trazione della muratura. Per le combinazioni in assenza di sisma, invece, tale verifica viene effettuata secondo quanto indicato al § 4.5.6.2 del DM 14/01/2008.
- **Snellezza:** la verifica si effettua confrontando il valore della snellezza di calcolo con il valore della snellezza limite, al fine di controllare il requisito geometrico delle pareti resistenti al sisma oppure di limitare gli effetti del secondo ordine in caso di calcolo non sismico.

Per le **fasce murarie** (o travi di accoppiamento in muratura), vengono eseguite, qualora siano state incluse nella modellazione strutturale, le seguenti verifiche:

- **Pressoflessione nel piano:** la verifica si effettua allo stesso modo di quanto previsto per i pannelli murari verticali (maschi). Nel caso di muratura ordinaria, qualora siano presenti, in prossimità della trave in muratura, elementi orizzontali dotati di resistenza a trazione (catene, cordoli, ecc.), il valore della resistenza può essere assunto non superiore al valore ottenuto dall'espressione (7.8.5) del DM 14/01/2008.
- **Taglio nel piano:** la verifica si effettua allo stesso modo di quanto previsto per i pannelli murari verticali (maschi). Nel caso di muratura ordinaria, qualora siano presenti, in prossimità della trave in

Restauro del palazzo Bartoli a Mazarino e adeguamento alle norme di sicurezza e agibilità

---

muratura, elementi orizzontali dotati di resistenza a trazione (catene, cordoli, ecc.), il valore della resistenza può essere assunto non superiore al valore ottenuto dal minimo tra l'espressione (7.8.4) e (7.8.6) del DM 14/01/2008.

Negli edifici in muratura esistente, in cui vi è una carenza sistematica di elementi di collegamento tra le pareti a livello degli orizzontamenti, è possibile richiedere una valutazione della vulnerabilità nei riguardi di meccanismi locali, che possono interessare non solo il collasso fuori dal piano di singoli pannelli murari, ma più ampie porzioni dell'edificio (ribaltamento e/o spanciamento di intere pareti mal collegate, ribaltamento e/o spanciamento di pareti sommitali, ecc.). Il modello utilizzato per questo tipo di valutazioni è quello dell'analisi limite dell'equilibrio delle strutture murarie, di cui al § C8.A.4 della Circolare n. 617 del 02/02/2009.

Per ogni possibile meccanismo locale, ritenuto significativo per l'edificio, il metodo si articola nei seguenti passi:

- trasformazione di una parte della costruzione in un sistema labile (catena cinematica), attraverso l'individuazione di corpi rigidi, definiti da piani di frattura ipotizzabili per la scarsa resistenza a trazione della muratura, in grado di ruotare o scorrere tra loro (meccanismo di danno e collasso);
- valutazione del moltiplicatore orizzontale dei carichi  $\alpha_0$  che comporta l'attivazione del meccanismo (stato limite di danno);
- valutazione dell'evoluzione del moltiplicatore orizzontale dei carichi  $\alpha$  al crescere dello spostamento  $d_k$  di un punto di controllo della catena cinematica, usualmente scelto in prossimità del baricentro delle masse, fino all'annullamento della forza sismica orizzontale;
- trasformazione della curva così ottenuta in curva di capacità, ovvero in accelerazione  $a^*$  e spostamento  $d^*$  spettrali, con valutazione dello spostamento ultimo per collasso del meccanismo (stato limite ultimo);
- verifiche di sicurezza, attraverso il controllo della compatibilità delle resistenze richieste alla struttura (*analisi cinematica lineare*).

Per l'applicazione del metodo di analisi, si ipotizza:

- resistenza nulla a trazione della muratura;
- assenza di scorrimento tra i blocchi;
- resistenza a compressione infinita della muratura.

Nei tabulati di calcolo, per brevità, non potendo riportare una così grossa mole di dati, si riportano le sollecitazioni che hanno dato luogo al minimo coefficiente di sicurezza.

Per quanto attiene agli elementi esistenti (di *Fatto*), ai fini delle verifiche di sicurezza, gli elementi strutturali vengono distinti in **duttili** e **fragili**. La classificazione degli elementi/meccanismi nelle due categorie è di seguito riportata:

- *duttili*: travi, pilastri e pareti/setti inflesse con e senza sforzo normale;
- *fragili*: meccanismi di taglio in travi, pilastri, pareti/setti e nodi.

Nel caso di uso del fattore di struttura, tutti gli elementi strutturali "duttili" devono soddisfare la condizione che la sollecitazione indotta dall'azione sismica, ridotta del fattore di struttura  $q$ , sia inferiore o uguale alla corrispondente resistenza. Tutti gli elementi strutturali "fragili" devono, invece, soddisfare la condizione che la sollecitazione indotta dall'azione sismica, ridotta per  $q = 1.5$ , sia inferiore o uguale alla corrispondente resistenza.

Per gli elementi fragili, la resistenza a taglio si valuta come nel caso di situazioni non sismiche.

Per i nodi, la verifica di resistenza viene eseguita secondo quanto indicato nel § C8.7.2.5 della succitata Circolare verificando sia la resistenza a trazione diagonale [relazione (8.7.2.2)] che quella a compressione diagonale [relazione (8.7.2.3)].

Per quanto concerne gli elementi strutturali di nuova realizzazione (di *Progetto*), la progettazione e verifica di tali elementi segue le stesse regole previste per le strutture di nuova edificazione.

Relativamente alla verifica e/o il progetto degli elementi in c.a. illustriamo, in dettaglio, il procedimento seguito quando si è in presenza di pressoflessione deviata (pilastri e trave di sezione generica):

Restauro del palazzo Bartoli a Mazzarino e adeguamento alle norme di sicurezza e agibilità

- per tutte le terne  $M_x$ ,  $M_y$ ,  $N$ , individuate secondo la modalità precedentemente illustrata, si calcola il coefficiente di sicurezza in base alla formula 4.1.10 del D.M. 14 gennaio 2008, effettuando due verifiche a pressoflessione retta con la seguente formula:

$$\left( \frac{M_{Ex}}{M_{Rx}} \right)^\alpha + \left( \frac{M_{Ey}}{M_{Ry}} \right)^\alpha \leq 1$$

dove:

- $M_{Ex}$ ,  $M_{Ey}$  sono i valori di calcolo delle due componenti di flessione retta dell'azione attorno agli assi di flessione X ed Y del sistema di riferimento locale;
- $M_{Rx}$ ,  $M_{Ry}$  sono i valori di calcolo dei momenti resistenti di pressoflessione retta corrispondenti allo sforzo assiale  $N_{Ed}$  valutati separatamente attorno agli assi di flessione.

L'esponente  $\alpha$  può dedursi in funzione della geometria della sezione, della percentuale meccanica dell'armatura e della sollecitazione di sforzo normale agente.

- se per almeno una di queste terne la relazione 4.1.10 non è rispettata, si incrementa l'armatura variando il diametro delle barre utilizzate e/o il numero delle stesse in maniera iterativa fino a quando la suddetta relazione è rispettata per tutte le terne considerate.

Sempre quanto concerne il progetto degli elementi in c.a. illustriamo in dettaglio il procedimento seguito per le travi verificate/semiprogettate a pressoflessione retta:

- per tutte le coppie  $M_x$ ,  $N$ , individuate secondo la modalità precedentemente illustrata, si calcola il coefficiente di sicurezza in base all'armatura adottata;
- se per almeno una di queste coppie esso è inferiore all'unità, si incrementa l'armatura variando il diametro delle barre utilizzate e/o il numero delle stesse in maniera iterativa fino a quando il coefficiente di sicurezza risulta maggiore o al più uguale all'unità per tutte le coppie considerate.

Nei tabulati di calcolo, per brevità, non potendo riportare una così grossa mole di dati, si riporta la terna  $M_x$ ,  $M_y$ ,  $N$ , o la coppia  $M_x$ ,  $N$  che ha dato luogo al minimo coefficiente di sicurezza.

Una volta semiprogettate le armature allo SLU, si procede alla verifica delle sezioni allo Stato Limite di Esercizio con le sollecitazioni derivanti dalle combinazioni rare, frequenti e quasi permanenti; se necessario, le armature vengono integrate per far rientrare le tensioni entro i massimi valori previsti.

Successivamente si procede alle verifiche alla deformazione, quando richiesto, ed alla fessurazione che, come è noto, sono tese ad assicurare la durabilità dell'opera nel tempo.

Per quanto concerne la verifica degli elementi strutturali in legno, le verifiche effettuate per ogni elemento dipendono dalla funzione dell'elemento nella struttura. Ad esempio, elementi con prevalente comportamento assiale (controventi o appartenenti a travature reticolari) sono verificate a trazione e/o compressione; elementi con funzioni portanti nei confronti dei carichi verticali sono verificati a Pressoflessione retta e Taglio; elementi con funzioni resistenti nei confronti di azioni orizzontali sono verificati a pressoflessione/tensoflessione deviata e taglio oppure a sforzo normale se hanno la funzione di controventi.

Le verifiche allo SLU sono effettuate sempre controllando il soddisfacimento della relazione:

$$R_d \geq S_d$$

dove  $R_d$  è la resistenza calcolata come indicato dalla (4.4.1), ossia:

$$R_d = \frac{k_{mod} \cdot R_k}{\gamma_M}$$

dove:

- $R_k$  è il valore caratteristico della resistenza del materiale. Per sezioni in legno massiccio o lamellare incollato sottoposti a flessione o a trazione parallela alla fibratura che presentino rispettivamente una altezza o il lato maggiore della sezione trasversale inferiore a 150 mm per il legno massiccio e

---

600 mm per il legno lamellare incollato, i valori caratteristici della resistenza vengono incrementati tramite il coefficiente moltiplicativo  $k_n$ , di cui al § 11.7.1.1.

$\gamma_M$  è il coefficiente parziale di sicurezza relativo al materiale, i cui valori sono riportati nella Tab. 4.4.III;

$k_{mod}$  è un coefficiente correttivo che tiene conto dell'effetto, sui parametri di resistenza, sia della durata del carico sia dell'umidità della struttura. I valori di  $k_{mod}$  sono forniti nella Tab. 4.4.IV.

Le tensioni interne sono calcolate nell'ipotesi di conservazione delle sezioni piane e di una relazione lineare tra tensioni e deformazioni fino alla rottura.

Le verifiche di resistenza degli elementi strutturali in legno sono riferite alla direzione della fibratura coincidente sostanzialmente con il proprio asse longitudinale e sezione trasversale costante.

Le verifiche effettuate sono quelle previste al punto 4.4.8.1 ed in particolare:

- Verifiche di Trazione parallela alla fibratura;
- Verifiche di Compressione parallela alla fibratura;
- Verifiche di Pressoflessione/Tensoflessione;
- Verifiche di Taglio;
- Verifiche di Taglio e Torsione.

Nei tabulati, per ogni tipo di verifica e per ogni elemento interessato dalla verifica, sono riportati i valori delle resistenze e delle sollecitazioni che hanno dato il minimo coefficiente di sicurezza, calcolato generalmente come:

$$C_s = R_d/S_d.$$

### ***10.5.2 Verifiche di Instabilità (Aste in legno)***

Per tutti gli elementi strutturali sono state condotte verifiche delle membrature nei confronti di possibili fenomeni di instabilità, quali lo sbandamento laterale degli elementi compressi o pressoinflessi secondo le indicazioni del par. 4.4.8.2 del D.M. 14 gennaio 2008; in particolare sono state effettuate le seguenti verifiche:

- Verifiche di stabilità per elementi compressi;
- Verifiche di stabilità per elementi inflessi e compressi (secondo il § 6.5.2.3 della CNR-DT 206/2007).

Si precisa che nel caso della verifica di stabilità per elementi inflessi e compressi, sia per i pilastri che per le travi, sono considerati gli effetti di svergolamento per entrambi i piani di flessione.

Nei tabulati, per ogni tipo di verifica e per ogni elemento strutturale, sono riportati i risultati di tali verifiche.

### ***10.5.3 Verifiche di Deformabilità (Aste in legno)***

Le deformazioni di una struttura, dovute agli effetti delle azioni applicate, degli stati di coazione, delle variazioni di umidità e degli scorrimenti nelle unioni, devono essere contenute entro limiti accettabili, sia in relazione ai danni che possono essere indotti ai materiali di rivestimento, ai pavimenti, alle tramezzature e, più in generale, alle finiture, sia in relazione ai requisiti estetici ed alla funzionalità dell'opera.

Considerando il particolare comportamento reologico del legno e dei materiali derivati dal legno, si devono valutare sia la deformazione istantanea sia la deformazione a lungo termine.

La deformazione istantanea si calcola usando i valori medi dei moduli elastici per le membrature.

La deformazione a lungo termine può essere calcolata utilizzando i valori medi dei moduli elastici ridotti opportunamente mediante il fattore  $1/(1+k_{def})$ , per le membrature. Il coefficiente  $k_{def}$  tiene conto dell'aumento di deformabilità con il tempo causato dall'effetto combinato della viscosità e dell'umidità del materiale. I valori di  $k_{def}$  sono riportati nella Tab. 4.4.V.

Per la verifica di deformabilità, occorre determinare preventivamente la deformazione iniziale e la deformazione finale.

Per il calcolo della deformazione iniziale ( $u_{in}$ ) occorre valutare la deformazione istantanea con riferimento alla combinazione di carico rara. Per il calcolo della deformazione finale ( $u_{fin}$ ) occorre valutare la deformazione a lungo termine per la combinazione di carico quasi permanente e sommare a quest'ultima la deformazione istantanea dovuta alla sola aliquota mancante, nella combinazione quasi permanente, del carico accidentale prevalente (da intendersi come il carico variabile di base della combinazione rara).

In via semplificata la deformazione finale  $u_{fin}$ , relativa ad una certa condizione di carico, si valuta come segue:

$$u_{fin} = u_{in} + u_{dif}$$

dove:

$u_{in}$  è la deformazione iniziale (istantanea), calcolata con riferimento alla combinazione di carico rara;  
 $u_{dif}$  è la deformazione differita che può essere valutata attraverso la relazione:

$$u_{dif} = u'_{in} \cdot k_{def}$$

nella quale:

$u'_{in}$  è la deformazione iniziale (istantanea), calcolata con riferimento alla combinazione di carico quasi permanente;  
 $k_{def}$  è il coefficiente riportato nella Tab. 4.4.V.

La verifica di deformabilità per gli elementi inflessi è eseguita come indicato nel § 6.4.3 della CNR-DT 206/2007.

I relativi risultati sono riportati nei tabulati.

## ***10.6 Verifiche delle unioni legno-legno e degli appoggi***

Le unioni legno-legno sono rappresentate da intagli opportunamente sagomati per consentire la realizzazione, ad esempio di travature reticolari e simili. Un'asta può pertanto presentare alle estremità diverse facce variamente orientate, per le quali vengono effettuate verifiche a compressione generalmente inclinata rispetto alle fibre, previa ripartizione della componente di sforzo normale tra le facce stesse.

In maniera analoga si procede per gli elementi appoggiati, per i quali si valuta la resistenza a compressione inclinata rispetto alle fibre.

## **11 - TABULATI DI CALCOLO**

*Per quanto non espressamente sopra riportato, ed in particolar modo per ciò che concerne i dati numerici di calcolo, si rimanda all'allegato "Tabulati di calcolo" costituente parte integrante della presente relazione.*

Il Progettista

**(Arch. A.S. Alessi)**